



รายงานการวิจัย

โครงการวิจัยเรื่อง วิจารณณ์เควอร์เรโซนแนนช์แบบสองทิศทางที่มีการควบคุมกระแสโดยการปรับดิวตี้ไซค์ เกิดแบบสมมาตรสำหรับชาร์จประจุชูปเปอร์คาป่าซิเตอร์จากพลังงานแสงอาทิตย์
Bidirectional Resonant Converter with Asymmetrical Duty Cycle Control for Charging Supper Capacitors from Solar Energy

คณะผู้วิจัย

นาย สายชล ชุดเจือจีน

นาย วิเชียร หทัยรัตน์ศิริ

โครงการวิจัยทุนสนับสนุนงานวิจัยของมหาวิทยาลัยเทคโนโลยีราชมงคลกรุงเทพ

งบประมาณแผ่นดิน ปี พ.ศ. 2557

มหาวิทยาลัยเทคโนโลยีราชมงคลกรุงเทพ

หัวข้องานวิจัย	งจกอนเวอร์เตอร์เรไซแนนซ์แบบสองทิศทางที่มีการควบคุมกระแสโดยการปรับดิวตี้ไซเคิลแบบสมมาตรสำหรับชาร์จประจุชูปเปอร์คาปัชิเตอร์จากพลังงานแสงอาทิตย์
ผู้เขียน	นาย สายชล ชุดเจื้อจิน
สาขาวิชา	วิศวกรรมไฟฟ้า
ภาควิชา	วิศวกรรมไฟฟ้าและโทรคมนาคม
คณะ	วิศวกรรมศาสตร์
พ.ศ.	2557

บทคัดย่อ

งานวิจัยนี้นำเสนอการควบคุมกระแสโดยการปรับดิวตี้ไซเคิลแบบสมมาตรสำหรับชาร์จประจุชูปเปอร์คาปัชิเตอร์จากพลังงานแสงอาทิตย์ ที่มีลักษณะการทำงานของสวิตช์เป็นแบบนำกระแสที่แรงดันเป็นสูญญภาพ เพื่อช่วยลดการสูญเสีย เพื่อลดขนาดและเพิ่มประสิทธิภาพ ก่อนเวอร์เตอร์จะออกแบบให้ทำงานที่ความถี่สวิตช์ 20 กิโลเฮิรต ที่กำลังไฟฟ้า 20 วัตต์ การทำงานของก่อนเวอร์เตอร์แบบออกแบบเป็น 2 โใหมด เพื่อให้วงจรสามารถนำกระแสได้ 2 ทิศทางคือ โใหมดที่ทำงานเป็นวงจรลดตอนแรงดันและโใหมดที่เพิ่มแรงดัน โดยมีเอาพุทธ์แรงดันต่ำของโใหมดรองรับลดตอนแรงดัน เท่ากับ 150 โวลต์และแรงดันสูงของเอาพุทธ์ของโใหมดเพิ่มแรงดันเท่ากับ 240 โวลต์ โดยงานวิจัยนี้จะนำเสนอ ทำงานในโใหมด ทั้ง 2 โใหมดร่วมไปถึงการออกแบบและหาค่าอุปกรณ์ของงจกอนเวอร์เตอร์

คำสำคัญ: ดีซี ทู ดีซี ก่อนเวอร์เตอร์แบบสองทิศทาง ดีซีบัส เชลล์แสงอาทิตย์

Title	Bidirectional resonant converter with asymmetrical duty cycle control for charging super capacitors from solar energy
Author	Mr. Saichol Chudjuarjeen Mr. Vichien Hathairatsiri
Department	Electrical and Telecommunication Engineering
Faculty	Engineering
B.E.	2557

Abstract

This paper proposes Bidirectional resonant converter with asymmetrical duty cycle control for charging super capacitors from solar energy, designed at 20 kHz for 288 W, is operated at zero voltage switch mode for reducing the losses of converter. The modes of operation divide in two modes for operating bidirectional current. The first part is buck mode which has 150 volt at the output voltage and second is boost mode which has 240 volt at the output voltage. The two operation modes of converter will be discussed in this paper.

Keywords: bidirectional dc-dc converter, dc bus, solar energy

กิตติกรรมประกาศ

ผู้วิจัยขอขอบคุณ สถาบันวิจัยและพัฒนา และคณะวิศวกรรมศาสตร์ที่ส่งเสริม สนับสนุนการทำวิจัย งานเสร็จสิ้น และขอบคุณมหาวิทยาลัยเทคโนโลยีราชมงคลกรุงเทพที่ช่วยสนับสนุนเงินทุนในการวิจัยในการทำวิจัย และบุคลากรทุกท่านที่ให้ความสำคัญในการทำงานวิจัย ทั้งทางด้านเบิกจ่ายงบประมาณ และค้นคว้า หาข้อมูล ศูดท้ายนี้ขอขอบพระคุณบิชา-มารดา ที่สนับสนุนในการศึกษาของผู้เขียน และให้กำลังใจในการศึกษาตลอดมา

ผู้ทำวิจัย



สารบัญ

	หน้า
บทคัดย่อ	๙
กิตติกรรมประกาศ	๑
บทที่	๑
1. บทนำ	
1.1 ความเป็นมา	๑
1.2 วัตถุประสงค์	๕
1.3 ขอบเขต	๕
1.4 ประโยชน์ที่คาดว่าจะได้รับ	๕
2. การทบทวนวรรณกรรมและทฤษฎีที่เกี่ยวข้อง	
2.1 การทบทวนวรรณกรรม	๗
2.2 ตอนเรอร์เตอร์	๘
2.3 การออกแบบวงจรกำลังของตอนเรอร์เตอร์ไฟฟ้ากระแสสลับ	๑๗
แบบ <i>Ap</i> (Area Approach)	
2.4 ทฤษฎีพื้นฐานเกี่ยวกับการสร้างสัญญาณดูเดตความกว้างพัลส์ (Pulse Width Modulates PWM)	๒๘
3. การออกแบบและสร้างวงจรตอนเรอร์เตอร์	
3.1 การออกแบบ	๓๐
3.2 โหลดของวงจร	๓๑
3.3 การออกแบบและสร้างวงจรตอนเรอร์เตอร์เรโซแนนซ์แบบ ส่องทิศทาง	๓๑
3.4 การออกแบบและสร้างวงจรควบคุมของตอนเรอร์เตอร์	๓๔
4. ผลการดำเนินงานและการวิเคราะห์	
4.1 การจำลองการทำงานด้วยโปรแกรมคอมพิวเตอร์	๓๗
4.2 การทดสอบการทำงานของระบบจริง	๔๔
5. สรุปผล ปัญหาและข้อเสนอแนะ	
5.1 สรุปผล	๔๙
5.2 ปัญหาและข้อเสนอแนะ	๔๙
เอกสารอ้างอิง	๕๐

บทที่ 1

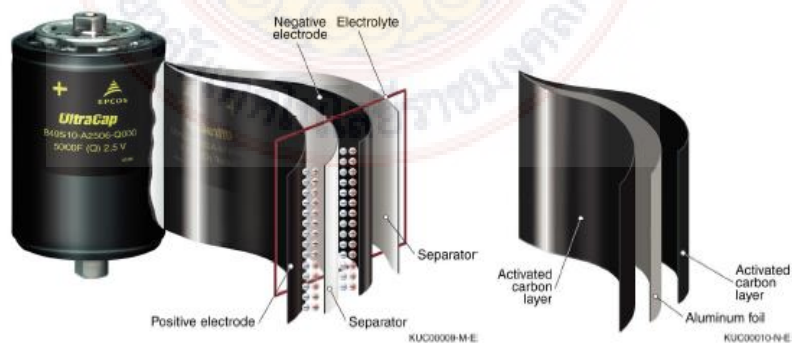
บทนำ

1.1 ความเป็นมาและความสำคัญ

สืบเนื่องมาจากแหล่งพลังงานธรรมชาติที่มีอยู่อย่างจำกัดและความต้องการพลังงานเพิ่มขึ้นอย่างต่อเนื่อง ทำให้มีความต้องการแหล่งพลังงานทดแทนเพื่อทดแทนใช้จ่ายด้านพลังงานของประเทศไทย จึงมีการสนับสนุนการคิดตั้งระบบผลิตไฟฟ้าด้วยพลังงานแสงอาทิตย์จากภาครัฐและหน่วยงานต่างๆ นอกจานนี้ปัจจุบัน เช่น รากคาของระบบ (แผงเซลล์แสงอาทิตย์ และระบบอิเล็กทรอนิกส์ กำลังที่เชื่อมต่อกับแผง) ที่ลดลงอย่างต่อเนื่อง ประสิทธิภาพที่สูงขึ้นของเซลล์แสงอาทิตย์ และความก้าวหน้าทางเทคโนโลยีของอุปกรณ์สารกั่งตัวนำและระบบอิเล็กทรอนิกส์กำลัง ทำให้การนำอาชีวภาพลงงานที่ผลิตจากเซลล์แสงอาทิตย์มาใช้เป็นแหล่งพลังงานทดแทนได้รับความนิยมสูงขึ้น

ในตอนปลายทศวรรษ 1950s Becker ได้ริเริ่มพัฒนาอุปกรณ์สะสมประจุไฟฟ้าแบบ electrical double-layer capacitor ซึ่งเป็นแหล่งให้พลังงานที่อัดไฟฟ้าได้จนนำไปสู่งานวิจัยเพื่อใช้กับรถไฟฟ้าและอิเล็กทรอนิกส์ของผู้บริโภค

คุณสมบัติบางกับความสามารถในการอัดไฟและจ่ายไฟได้อย่างรวดเร็วอย่างมากถึงการที่มันจะถูกยกเป็นอุปกรณ์ชั้นนำในอนาคตสำหรับตัวจ่ายกำลังไฟฟ้าสูงสุดระบบลูกผสม การบันเป็นหนึ่งในวัสดุที่นิยมใช้กันมากที่สุดสำหรับทำข้าวไฟฟ้า ไม่ว่าในรูปทรงหรือพื้นที่โดยมีพื้นที่ผิวอยู่ในช่วง 1,000 – 2,000 ตารางเมตร/กรัม และขนาดของรูพรุนจาก 50 นาโนเมตร ผู้ผลิตอุตสาหกรรมสามารถปรับให้มีประสิทธิภาพสูงสุดการทำงานได้สูงสุด โดยการปรับแต่งอัตราส่วนระหว่างช่อง (channels) ให้ซึ่งเป็นทางเข้าของไอออนต่อช่องที่มีขนาดเล็กกว่า ซึ่งมีส่วนสำคัญกับพื้นที่ผิวและเพิ่มความจุ



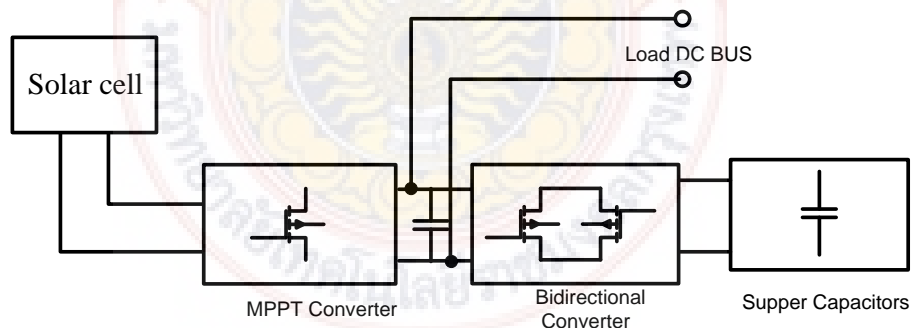
รูปที่ 1.1 โครงสร้างชั้นพิวของ Super Capacitor และ Electrode

	Battery	UltraCap
	Lead-acid 12 V/44 Ah	3600 F/2.5 V
Provided energy	Only part of provided energy can be stored	Total provided energy can be stored
Energy density	40 Wh/kg	4 Wh/kg
Power density	300 W/kg	5 kW/kg (pulse for 1 s)

The diagram illustrates the difference in energy storage and power delivery between a battery and a super capacitor. On the left, a battery is shown with a small amount of energy stored (represented by a small shaded area) compared to its total capacity (the entire volume). A small amount of power is being delivered from it. On the right, a super capacitor is shown with all of its energy available for storage (the entire volume is shaded) and it is delivering a large amount of power (represented by a large shaded area).

รูปที่ 1.2 เปรียบเทียบคุณสมบัติระหว่าง Super Capacitor กับ แบตเตอรี่

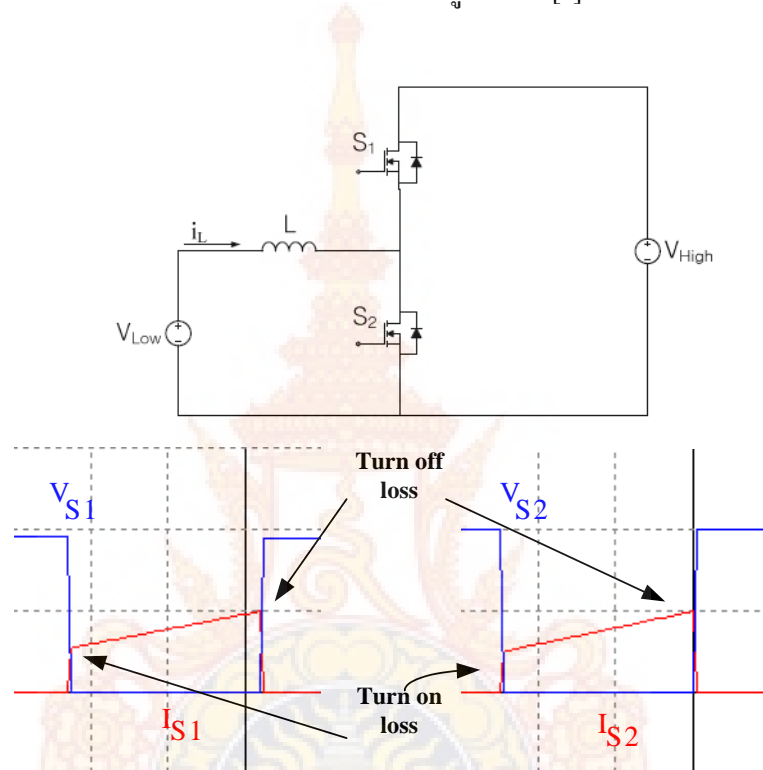
จากรูปที่ 1.2 มีการเปรียบเทียบคุณสมบัติระหว่าง Super Capacitor กับ แบตเตอรี่ จะเห็นได้ว่า ชูปเปอร์คาปิตอเรอร์สามารถรับความหนาแน่นกำลังไฟฟ้าได้สูงกว่าแบตเตอรี่ ซึ่งหมายถึงการชาร์ตและการ放電สามารถทำได้อย่างเต็มที่และสามารถชาร์จประจุกิ่ครั้งก็ได้ เนื่องจากแบตเตอรี่มีข้อจำกัดคือ กระแสที่ชาร์จวงจรที่ และการจ่ายพลังงานก็เช่นกันซึ่งผลจากนี้ทำให้แบตเตอรี่เสื่อมอายุ การใช้งานเร็วขึ้น ปัจจุบันจึงได้เริ่มมีการเปลี่ยนจากแบตเตอรี่มาเป็นชูปเปอร์คาปิตอเรอร์ ดังแสดงในรูปที่ 1.3



รูปที่ 1.3 ระบบการเก็บพลังงานจากโซลาร์เซลล์ โดยใช้ Super-capacitor

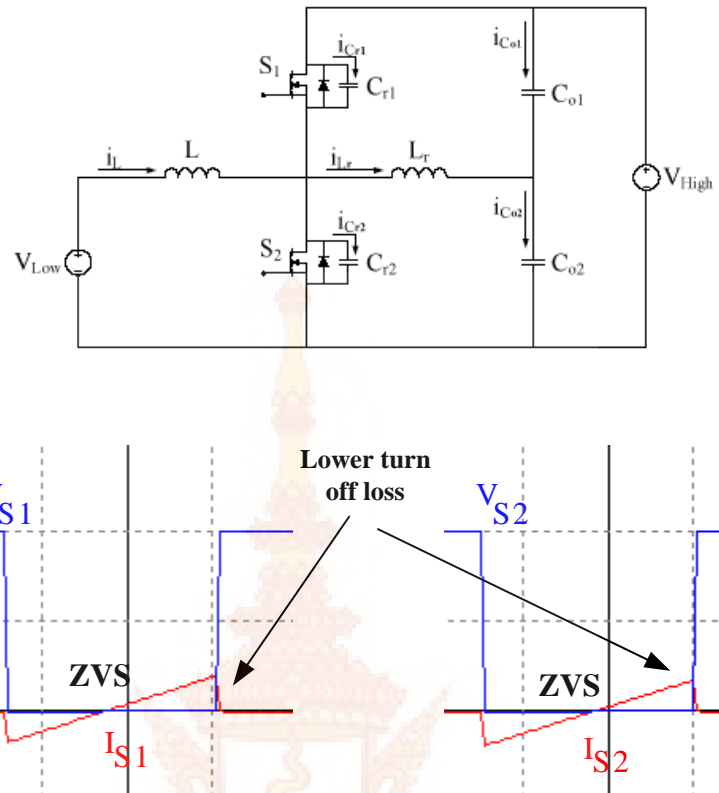
รูปที่ 1.3 แสดงระบบการเก็บพลังงานจากโซลาร์เซลล์โดยใช้ Super-capacitor โดยมีคอนเวอร์เตอร์ ส่องตัว ตัวแปร MPPT converter ทำหน้าที่ ติดตามกำลังสูงสุดจากโซลาร์เซลล์ เพื่อจ่ายแรงดัน ดิซิบัส ส่วนตัวที่ส่อง Bidirectional converter ทำหน้าที่ชาร์จพลังงานเข้า Super-capacitor ที่

หมายความและเมื่อพลังงานจากโซลาร์เซลล์น้อยก็จะทำหน้าที่จ่ายพลังงานไปจ่ายที่โหลด (Load DC bus) รูปที่ 1.4 แสดงวงจรคอนเวอร์เตอร์แบบสองทิศทางที่ใช้กันอยู่ทั่วไป (Bidirectional Converter) โดยที่ผู้ทางแรงดันต่ำ (V_{low}) แสดงถึงแรงดันที่ Super-capacitor และแรงดันสูง (V_{high}) กือผู้ทางดีซีบัส ซึ่งมีข้อเสียคือมีประสิทธิภาพต่ำเนื่องมาจากการสูญเสียของสวิตช์ทั้งในช่วงเวลาเปิดและปิด วงจร วงนี้จึงไม่สามารถนำไปใช้งานที่มีกำลังไฟฟ้าสูงขึ้นได้ [1]

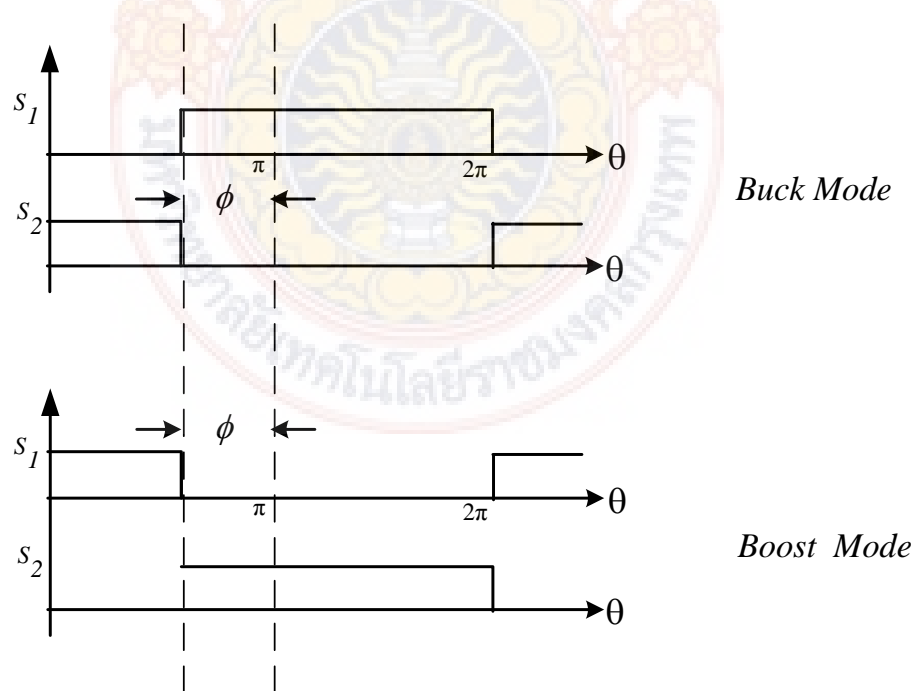


รูปที่ 1.4 คอนเวอร์เตอร์แบบสองทิศทางโดยทั่วไปและการทำงานของสวิตช์

เนื่องจากประสิทธิภาพในการผลิตกระแสไฟฟ้าของเซลล์แสงอาทิตย์ค่อนข้างต่ำ การเก็บพลังงานจึงควรทำให้มีประสิทธิภาพสูงที่สุด คอนเวอร์เตอร์ที่ใช้ถ่ายเทกำลังงานจึงควรมีการสูญเสียน้อยที่สุด โดยการสูญเสียของสวิตช์ในวงจรคอนเวอร์เตอร์มีสองอย่างคือ การสูญเสียขณะนำกระแส (Conduction Loss) และ การสูญเสียขณะเปิดปิดวงจร (Switching loss) ซึ่งการสูญเสียขณะนำกระแสจะขึ้นอยู่กับอุปกรณ์สวิตช์ที่เลือกใช้ แต่การสูญเสียขณะเปิดปิดวงจรจะมีค่าสูงขึ้นเมื่อคอนเวอร์เตอร์ทำงานที่ความถี่สูง



รูปที่ 1.5 ค่อนเวอร์เตอร์เร โฉmann แบบสองทิศทางที่นำเสนอและการทำงานของสวิตช์



รูปที่ 1.6 การควบคุมการทำงานของสวิตช์แบบปรับดิจิต์ใช้เคลียบแบบสมมาตร

งานวิจัยนี้นำเสนอของรศน์เวอร์เตอร์เร โฉmann แบบส่องทิศทางที่มีการควบคุมกระแสโดยการปรับดิวตี้ไซเคิลแบบอสมมาตรสำหรับชาร์จประจุชูปเปอร์คาร์บอนิเตอร์จากพลังงานแสงอาทิตย์ ค่อนเวอร์เตอร์เร โฉmann แบบส่องทิศทางที่ถูกนำเสนอแสดงดังรูปที่ 1.5 โดยจะเห็นได้ว่าที่สวิตซ์นำกระแสจะมีการสูญเสียเป็นศูนย์เนื่องจากสวิตซ์นำกระแสที่สภาวะเป็นศูนย์ และเมื่อสวิตซ์หยุดนำกระแสจะเห็นได้ว่าสวิตซ์มีการสูญเสียลดลงเนื่องจากแรงดันที่ต่อกคร่อมสวิตซ์ค่อยๆเพิ่มเนื่องมาจากปาร์เซนเตอร์ที่ต่อกร่อมอยู่กับสวิตซ์ การควบคุมวงจรเมื่อแรงดันทางด้านแรงดันต่ำ (V_{low}) มีค่าต่ำลงมากกว่าแรงดันที่จะมีชาร์จกระแสอย่างรวดเร็ว และเข่นเดียวกันเมื่อแรงดันทางด้านแรงดันสูง (V_{high}) มีค่าต่ำลงกว่าแรงดันที่จะมีจ่ายกระแสอย่างรวดเร็ว เช่นเดียวกันดังนั้นการควบคุมกระแสโดยการปรับดิวตี้ไซเคิลแบบอสมมาตรดังแสดงดังรูปที่ 1.6 จึงถูกนำเสนอเพื่อรักษาแรงดันแรงดันทั้งสองฝั่งให้คงที่ โดยจะควบคุมให้ค่อนเวอร์เตอร์ทำงานในย่านสวิตซ์ทำงานที่แรงดันเป็นศูนย์ตลอดเวลา

1.2 วัตถุประสงค์

1.2.1 เพื่อศึกษาพฤติกรรมการทำงานของวงจรค่อนเวอร์เตอร์เร โฉmann แบบส่องทิศทางที่มีการปรับกำลังโดยการปรับดิวตี้ไซเคิลแบบอสมมาตรสำหรับชาร์จประจุชูปเปอร์คาร์บอนิเตอร์จากพลังงานแสงอาทิตย์

1.2.2 เพื่อศึกษาการควบคุมกระแสของวงจรค่อนเวอร์เตอร์เร โฉmann แบบส่องทิศทางโดยการปรับดิวตี้ไซเคิลแบบอสมมาตรให้ทำงานในย่านสวิตซ์นำกระแสที่แรงดันเป็นศูนย์ตลอดเวลา

1.3 ขอบเขต

ออกแบบ สร้างและทดสอบวงจรค่อนเวอร์เตอร์เร โฉmann แบบส่องทิศทางที่มีการควบคุมกระแสโดยการปรับดิวตี้ไซเคิลแบบอสมมาตรสำหรับชาร์จประจุชูปเปอร์คาร์บอนิเตอร์จากพลังงานแสงอาทิตย์ โดยจะควบคุมให้ค่อนเวอร์เตอร์ทำงานในย่านสวิตซ์นำกระแสที่แรงดันเป็นศูนย์ตลอดเวลา

1.4 ประโยชน์ที่คาดว่าจะได้รับ

- 1.4.1 คาดว่าเมื่องานวิจัยสำเร็จแล้วจะสามารถใช้เป็นเครื่องต้นแบบในการวิจัยพัฒนาหรือการนำไปใช้งานในภาคอุตสาหกรรมของประเทศไทยในอนาคตต่อไป
- 1.4.2 สามารถนำผลงานที่สำเร็จไปตีพิมพ์เป็นรายงานสารงานวิจัยในระดับประเทศและต่างประเทศ

- 1.4.3 สามารถลดการนำเข้าสินค้าจากต่างประเทศได้
- 1.4.4 สามารถเก็บพลังงานจากแสงอาทิตย์ได้อย่างมีประสิทธิภาพ



บทที่ 2

การทบทวนวรรณกรรมและทฤษฎีที่เกี่ยวข้อง

ในการออกแบบและสร้าง wangrdic ที่ดีซึ่งค่อนเวอร์เตอร์แบบสองทิศทางจำเป็นต้องศึกษา หลักการและทฤษฎีที่เกี่ยวข้องดังนี้

2.1 การทบทวนวรรณกรรม

งานวิจัยนี้ได้มีการศึกษาเกี่ยวกับ wangrdic ที่ดีซึ่งค่อนเวอร์เตอร์แบบสองทิศทาง โดยใช้ หลักการของการแอลซีเร โซลูชันซ์และการควบคุมดิจิตี้ไซเบอร์ ในโครงงานนี้ได้ศึกษาข้อมูลใน งานวิจัยที่เกี่ยวข้องดังนี้

คณะผู้วิจัย [1] ได้ทำการศึกษาการออกแบบและสร้าง wangrdic ที่ดีซึ่งค่อนเวอร์เตอร์ แบบขนาด 4 โมดูล เพื่อที่จะลดกระเสกระเพื่อมทางด้านอินพุตและสามารถจ่ายกำลังไฟฟ้าให้กับ ภาระที่ถูกต่อเพิ่มเข้ามาในระบบได้ โดยใช้ wangrdic ที่ดีซึ่งค่อนเวอร์เตอร์จำนวน 4 วงจรต่อ ขนาดกัน แต่ละวงจรทำงานในโหมดกระแสไฟฟ้าผ่านชุด漉เห็นบาน้ำต่อเนื่อง การออกแบบ ควบคุมเป็นตัวควบคุมแบบพีไอและใช้เทคนิคการอินเตอร์ลิฟ เพื่อลดการกระเพื่อมของกระแสไฟฟ้า ทางด้านอินพุต ในการควบคุมเพื่อรักษาระดับแรงดันเอาต์พุตใหม่ค่าคงที่ สามารถจ่ายกระแสสูง และการแบ่งจ่ายกระแสของแต่ละวงจรไปยังภาระมีค่าใกล้เคียงกัน มีประสิทธิภาพและความ น่าเชื่อถือสูง

คณะผู้วิจัย [2] ได้ทำการศึกษาการออกแบบ wangrdic ที่ดีซึ่งค่อนเวอร์เตอร์ แบบสองทิศทาง ที่มีลักษณะการทำงานของสวิตช์เป็นแบบนำกระแสที่แรงดันเป็นศูนย์เพื่อลดขนาดและเพิ่ม ประสิทธิภาพของค่อนเวอร์เตอร์ ค่อนเวอร์เตอร์ถูกออกแบบให้ทำงานที่ความถี่สวิตช์ 30 กิโลเอร็ตซ์ ที่กำลังไฟฟ้า 3 กิโลวัตต์ ใช้หลักการแอลซีเร โซลูชันซ์ ในการทำงานของค่อนเวอร์เตอร์แบบออกแบบสองโหมดเพื่อให้วงจรสามารถนำกระแสได้สองทิศทางคือ โหมดที่ทำงานเป็น วงจรตอนแรงดันและ โหมดวงจรทบแรงดัน

Y. C. Chuang และคณะ (2010) ได้นำเสนอว่างร่องตอนแรงดันหรือบีกค่อนเวอร์เตอร์ ประ สิทธิภาพสูงสำหรับชาร์จแบตเตอร์แบบลิเทียม ไอออน

B. R. Lin and J. J. Chen และคณะ (2009) ได้นำเสนอว่างร่องตอนเวอร์เตอร์ชนิดฟลายแบ คและวงจรซีต้าที่มีเทคนิคสวิตช์ช่วยในการเพิ่มประสิทธิภาพของวงจรค่อนเวอร์เตอร์

Phatiphat Thounthong และคณะ (2006) ได้ทำการเสนองานวิจัย การควบคุมแรงดันดิจิตัล ที่ได้มาจาก fuel cell และ supercapacitor สำหรับรถไฟฟ้า

Schuch, L. และคณะ (2006) ได้ทำการวิเคราะห์และออกแบบการทำงานเปิดปิดสวิตช์ในวงจรคอนเวอร์เตอร์แบบสองทิศทางที่ใช้สำหรับแบตเตอรี่

F. Z. Peng และคณะ (2004) ได้นำเสนอวงจรคอนเวอร์เตอร์เรโซแนนซ์แบบสองทิศทางที่ถูกใช้สำหรับเซลล์เซลล์เพลิงและแบตเตอรี่

Chan, H.L., และคณะ (2003) ได้นำเสนอวงจรคอนเวอร์เตอร์ที่มีการเปิดปิดสวิตช์เป็นสูญญ์โดยใช้การควบคุมแบบเฟลชิพ ซึ่งจำเป็นต้องใช้สวิตช์ถึง 4 ตัว

Chen, G., Lee และคณะ (2000) ได้นำเสนอวงจรฟลายแบคคอนเวอร์เตอร์แบบสองทิศทางที่มีการเพิ่มสวิตช์เพื่อช่วยในการลดการสูญเสียที่สวิตช์

Atsushi Okuno และคณะ (1998) ได้ทำการสร้างเครื่องให้ความร้อนแบบหนี่ยวนำแบบปรับกำลังโดยปรับแรงดันดิจิทัลโดยใช้เฟลกอนไทรอลเรกติฟายเออร์ อินเวอร์เตอร์ใช้เป็นฟลูบิริดจ์มีการควบคุมมุมเฟลกงที่ต่อเข้ากับหม้อแปลงเป็นเอาพุทต่อไปยังโหลดเรโซแนนซ์ซึ่งเป็นแบบอนุกรม (RLC)

M. K. Kazimierczuk และคณะ (1993) ได้ทำการออกแบบและสร้างเครื่องให้ความร้อนแบบหนี่ยวนำแบบปรับกำลังโดยปรับแรงดันดิจิทัลโดยใช้เฟลกอนไทรอลเรกติฟายเออร์ อินเวอร์เตอร์ใช้เป็นชาฟบิริดจ์ต่อเข้ากับหม้อแปลงเป็นเอาพุทต่อไปยังโหลดเรโซแนนซ์ซึ่งเป็นแบบอนุกรม (RLC)

2.2 คอนเวอร์เตอร์

ดิจิทัลดิจิทัล คอนเวอร์เตอร์ เป็นวงจรที่ทำหน้าที่เปลี่ยนแรงดันกระแสตรงจากแหล่งจ่ายไฟฟ้าที่มีค่าคงที่ ให้ได้แรงดันกระแสตรงค้านออก ที่สามารถปรับค่าได้ตามที่ต้องการ โดยใช้หลักการทำางของอิเล็กทรอนิกส์สวิตช์

อิเล็กทรอนิกส์สวิตช์มีวิธีการ 2 แบบคือ

1) แบบ Constant – frequency เป็นวงจรที่ควบคุมให้ Time Period (T) คงที่ แล้วปรับเวลา ON Time การควบคุมในลักษณะนี้เรียกว่า Pulse-Width-Modulation (PWM)

2) แบบ Variable - frequency เป็นวงจรที่ปรับ Time Period โดยการปรับ ON Time หรือ OFF Time การควบคุมแบบนี้เรียกว่า Frequency-modulation แต่เนื่องจากการควบคุมในลักษณะนี้ ความถี่มีการเปลี่ยนแปลงในย่านกว้างทำให้ยากในการฟิลเตอร์

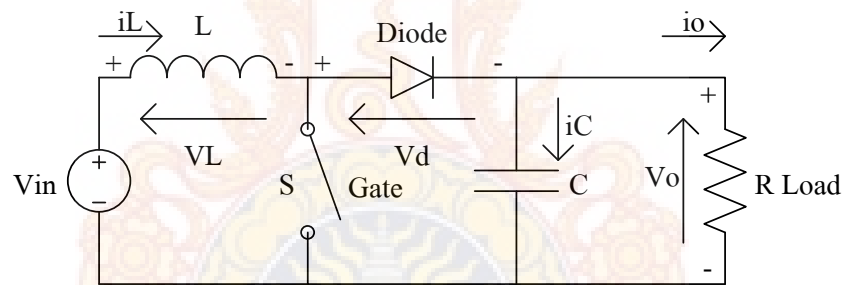
อิเล็กทรอนิกส์สวิตช์ที่ใช้ในวงจร มีอยู่ 2 แบบคือ

1) แบบที่ทำให้กระแสหยุดไหลด้วยการบีบบังคับ (Forced Commutation) คือ เอสซีอาร์ จะนำมาใช้ในงานความถี่ต่ำ

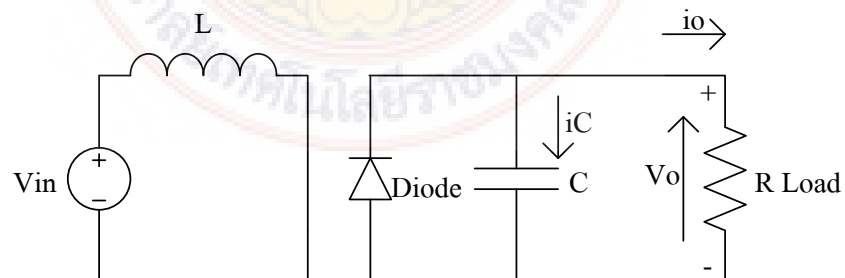
2) แบบที่ทำให้กระแสหุ่ดไหลได้ด้วยตัวเอง (Self Commutation) คือ เพาเวอร์มอสเฟต จีทีโอ และ ไอจีบีที จะนำมาใช้ในงานความถี่สูง

2.2.1 กอนเวอร์เตอร์แบบทบระดับแรงดันกระแสตรง (Boost Converter)

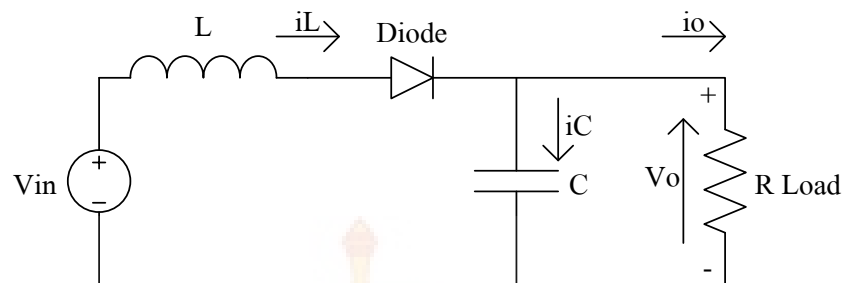
กอนเวอร์เตอร์แบบทบระดับแรงดันกระแสตรงเป็นสวิตซ์ชนิคหนึ่งที่ทำงานได้โดยใช้อุปกรณ์อิเล็กทรอนิกส์และอุปกรณ์ความถี่สูงทำการปรับเปลี่ยนระดับแรงดันด้านออก ให้สูงกว่าระดับแรงดันด้านเข้า โดยอาศัยคุณสมบัติของตัวเหนี่ยวนำความถี่สูงในการเก็บและขยายพลังงาน การทำให้ระดับแรงดันด้านออกสูงกว่าระดับแรงดันด้านเข้าจึงเรียกว่า สเต็ปอัพกอนเวอร์เตอร์ (Step - up Converter) จะประกอบไปด้วย 2 ส่วนหลักคือ ส่วนของวงจรกำลัง ประกอบด้วยตัวเหนี่ยวนำความถี่สูง ตัวเก็บประจุด้านออก ไดโอดกำลังทำหน้าที่สวิตซ์ อีกส่วนคือวงจรกรองแรงดัน เป็นวงจรทำหน้าที่ควบคุมการทำงานของกอนเวอร์เตอร์ เพื่อรักษาระดับแรงดันด้านออกให้คงที่ วงจรสมมูลของวงจรทบระดับแรงดันกระแสตรงแสดงดังรูปที่ 2.1 การทำงานของวงจรทบระดับแรงดันกระแสตรงแสดงดังรูปที่ 2.2



รูปที่ 2.1 วงจรสมมูลของวงจรทบระดับแรงดันกระแสตรง



ก) โหมดที่ 1 สวิตซ์ปิด



ข) โหมดที่ 2 สวิตช์ปิด

รูปที่ 2.2 วงจรการทำงานของจารบทะดับแรงดันกระแสต่อง

2.2.1.1 วิเคราะห์เมื่อสวิตช์ปิด

โหมด 1 ($0 < t \leq t_{on}$) มอสเฟต Q_1 ทำงานสวิตช์ปิด ($t = 0$) กระแสด้านเข้าไหลผ่าน มอสเฟต Q_1 และตัวเหนี่ยวนำทำให้กระแสของตัวเหนี่ยวนำเพิ่มขึ้นจาก I_1 ที่ $t = t_0$ เป็น I_2 ที่ $t = t_1$ โดยได้อด D_M จะถูกนำไปอัลกอริทึม ตัวเก็บประจุจะดิสชาร์จประจุให้แก่โอลด์ในช่วงเวลา $0 < t \leq t_{on}$ ค่าแรงดันด้านเข้ามีค่าเท่ากับแรงดันตกคร่อมตัวเหนี่ยวนำดังสมการที่ (2.1)

$$V_s = V_L = L \frac{I_2 - I_1}{t_{on}} = \frac{L \Delta I}{t_{on}} \quad (2.1)$$

สมการที่จะหาค่าเวลาในช่วงที่เพาเวอร์มอสเฟต นำกระแส ได้จากสมการที่ (2.2)

$$t_{on} = \frac{L \Delta I}{V_s} \quad (2.2)$$

พลังงานที่สะสมในตัวเหนี่ยวนำสามารถหาได้จากสมการที่ (2.3)

$$E = \frac{1}{2} L(\Delta I)^2 = \frac{1}{2L} V_s^2 t_{on}^2 \quad (2.3)$$

2.2.1.2 วิเคราะห์เมื่อสวิตช์เปิด

โหมด 2 ($0 < t \leq t_{on}$) มอสเฟต Q_1 ทำงานสวิตช์เปิด ($t = t_1$) และดันเหนี่ยวนำข้อมูลของตัวเหนี่ยวนำซึ่งต่ออยู่กับแรงดันด้านเข้า ทำให้แรงดันด้านออกมีค่ามากขึ้นจนทำให้ D_M ทำงานกระแสด้านเข้าไหลผ่านตัวเหนี่ยวนำ ประกอบด้วยกระแสด้านเข้า (I_S) และกระแสของตัวเหนี่ยวนำ (I_L) ซึ่งกระแสของตัวเหนี่ยวนำเกิดจากพลังงานสะสมในตัวเหนี่ยวนำขณะที่มอสเฟต Q_1 ทำงานผ่าน ได้ออด D_M จ่ายให้กับโหลดและชาร์จประจุให้แก่ตัวเก็บประจุเป็นผลให้ I_L ตกลงในช่วงเวลา t_2

$$V_s - V_o = L \frac{I_2 - I_1}{t_{off}} \quad (2.4)$$

$$V_o - V_s = L \frac{\Delta I}{t_{off}} \quad (2.5)$$

สามารถที่จะหาค่าเวลาในช่วงที่เพาเวอร์มอสเฟต ไม่นำกระแส ได้จากการนี้

$$t_{off} = L \frac{\Delta I}{V_o - V_s} \quad (2.6)$$

การเปลี่ยนแปลงของกระแสของตัวเหนี่ยวนำระหว่างค่ากระแส ค่ายอดสูด (Peak - to - Peak) คือ กระแสกระแสเพื่อมเมื่อพิจารณาที่สภาวะคงที่โดยให้ช่วงเวลา t_{on} และ t_{off} จากสมการที่ (2.2) และ (2.6) มีค่าเท่ากัน คำนวณหากระแสเพื่อม ได้ดังนี้

$$\Delta I = \frac{V_s t_{on}}{L} = \frac{(V_o - V_s) t_{off}}{L} \quad (2.7)$$

แทนค่า $t_{on} = DT$ และ $t_{off} = 1 - DT$ ลงในสมการที่ (2.7)

$$V_s DT = (V_o - V_s)(1 - D)T = V_o(1 - D)T - V_s(1 - D)T \quad (2.8)$$

จากสมการที่ (2.8) เมื่อทำให้อยู่ในรูปอ่ายง่ายได้

$$V_s DT = V_o(1 - D)T - V_s T + V_s T \quad (2.9)$$

$$V_s = V_o(1 - D) \quad (2.10)$$

ดังนั้นแรงดันด้านออกเฉลี่ยจากการของร็อตอร์แบบทบระดับแรงดันกระแสตรงจะได้ดังสมการที่ (2.11)

$$V_o = \frac{V_s}{1 - D} \quad (2.11)$$

สมการที่ (2.11) แสดงถึงแรงดันด้านออก ถ้าสวิตซ์เปิดตลอดเวลาและ D มีค่าเป็นศูนย์ แรงดันด้านออกจะมีค่าเหมือนกับแรงดันด้านเข้า ขณะที่คิวตี้ไซเคิล (Duty Cycle) มีค่าเพิ่มขึ้น ตัวส่วนในสมการที่ (2.11) จะมีขนาดเล็กลงและแรงดันด้านออกจะมีค่าแรงดันมากกว่าด้านเข้า แรงดันด้านออกจะมีค่าเปลี่ยนแปลงตามแรงดันด้านเข้าและคิวตี้ไซเคิล ขณะที่คิวตี้ไซเคิลมีค่าเข้าใกล้ 1 แรงดันด้านออกจะมีค่าเข้าใกล้อนันต์ (Infinity) หากพิจารณาค่ากำลังไฟฟ้าด้านเข้าเท่ากับด้านออกจะได้ว่า

$$V_s I_s = V_o I_o \quad (2.12)$$

แทนค่าแรงดันด้านออกจากสมการที่ (2.11)

$$V_s I_s = \frac{V_s I_o}{1 - D} \quad (2.13)$$

ดังนั้นกระแสด้านเข้าเฉลี่ยจะได้

$$I_s = \frac{I_o}{1 - D} \quad (2.14)$$

สวิตซิงเพาเวอร์ซัพพลายจะทำงานในรูปของความเวลา ในหนึ่งความเวลาจะประกอบไปด้วยช่วงเวลา t_{on} และ t_{off} ดังนั้นค่าของความเวลาจะได้

$$T = \frac{1}{f} = t_{on} + t_{off} = \frac{L\Delta I}{V_s} + \frac{L\Delta I}{V_o - V_s} + \frac{L(\Delta I)V_o}{V_s(V_o - V_s)} \quad (2.15)$$

เมื่อจัดรูปสมการที่ (2.15) ใหม่ จะได้ค่ากระแสเพิ่มของตัวเหนี่ยวนำ ดังสมการที่ (2.16)

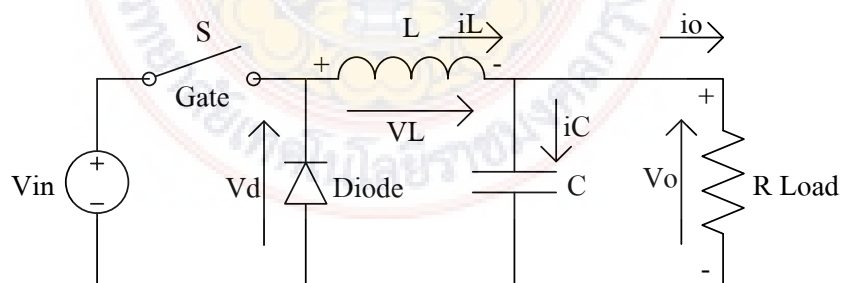
$$\Delta I = \frac{V_s(V_o - V_s)T}{LV_s} = \frac{V_s \left[\frac{V_s}{(1-D)-V_o} \right]}{fLV_o} \quad (2.16)$$

และจะได้ค่าตัวเหนี่ยวนำที่ใช้ในวงจรทบแรงดันดีซีทีซีคอนเวอร์เตอร์ดังสมการที่ (2.17)

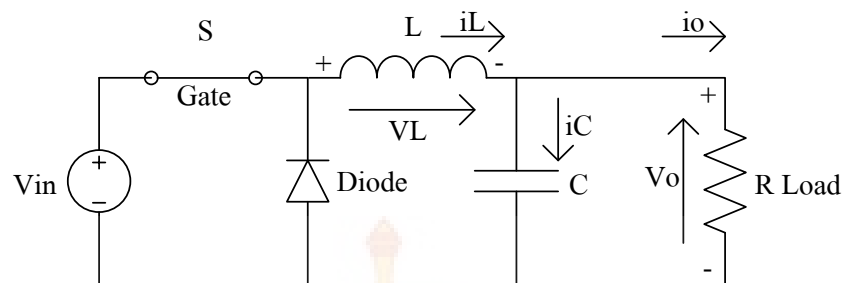
$$L = \frac{V_s D}{f \Delta I} \quad (2.17)$$

2.2.2 คอนเวอร์เตอร์แบบทอนระดับแรงดันกระแสสัมภาร (Buck Converter)

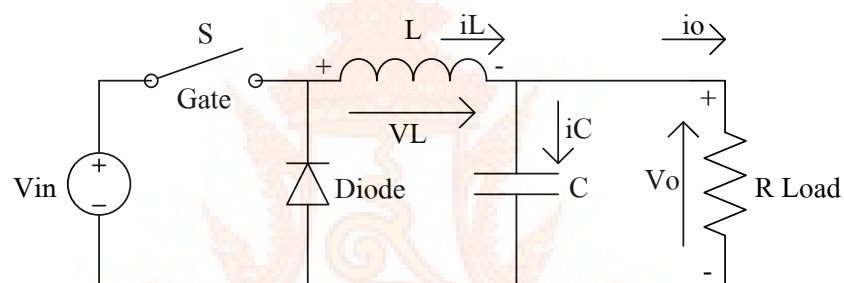
หลักการทำงานของวงจรคอนเวอร์เตอร์แบบทอนระดับแรงดันกระแสสัมภาร เป็นการออกแบบเพื่อให้แรงดันด้านออกมีปริมาณต่ำกว่าด้านเข้า และมีปริมาณแรงดันตามที่ต้องการ โดยเริ่มต้นจากเงื่อนไขที่ว่าแรงดันเฉลี่ยที่ตอกคร่อมตัวเหนี่ยวนำในความเวลาไม่ค่าเท่ากับศูนย์ จากนั้นสามารถหากระแสที่ไหลผ่านตัวเหนี่ยวนำได้ การวิเคราะห์การทำงานของสวิตช์ในแต่ละโหมด จะต้องวิเคราะห์ในสถานะอยู่ตัว วงจรสมมูลของวงจรทอนระดับแรงดันกระแสสัมภาร แสดงดังรูปที่ 2.3 และวงจรการทำงานของวงจรทอนระดับแรงดันกระแสสัมภาร แสดงดังรูปที่ 2.4



รูปที่ 2.3 วงจรสมมูลของวงจรทอนระดับแรงดันกระแสสัมภาร



ก. โหมดที่ 1 สวิตช์ปิด



ข. โหมดที่ 2 สวิตช์เปิด

รูปที่ 2.4 วงจรการทำงานของจารตอนระดับแรงดันกระแสตรง

2.2.2.1 วิเคราะห์เมื่อสวิตช์ปิด

จากรูปที่ 2.4 ก. เป็นการทำงานโหมดที่ 1 mosfet \$Q_1\$ ทำงานสวิตช์ปิด (\$t = 0\$) กระแสด้านขาไฟล์ผ่าน \$Q_1\$ และตัวเหนี่ยวนำ ทำให้กระแสของตัวเหนี่ยวนำเพิ่มขึ้นจาก \$I_1\$ ที่ \$t = 0\$ เป็นเวลา \$I_2\$ ที่ \$t = t_1\$ โดยกระแสที่ไฟล์ผ่านตัวเหนี่ยวนำ จะเท่ากับกระแสที่ไฟล์ผ่าน \$R\$ และแรงดันที่แหล่งจ่ายจะเท่ากับแรงดันตอกคร่อมตัวเหนี่ยวนำ梧กับแรงดันที่ตอกคร่อม \$R\$ ดังสมการที่ (2.19)

$$V_s = V_L = V_o \quad (2.18)$$

หรือ

$$V_L = V_s = V_o$$

แต่

$$V_L = L \frac{d_{iL}}{dt}$$

จะได้

$$L \frac{d_{iL}}{dt} = V_s - V_o$$

$$\frac{d_{iL}}{dt} = \frac{V_s - V_o}{L} \quad (2.19)$$

dt ในกรณีอ่ายในช่วงเวลาหนึ่งกระแส คือ $dt = DT$

$$\Delta_{iL, on} = \left(\frac{V_s - V_o}{L} \right) DT \quad (2.20)$$

2.2.2.2 วิเคราะห์เมื่อสวิตซ์เปิด

จากรูปที่ 2.4 บ. เป็นการทำงานโหมด 2 มอสเฟต Q_1 ทำงานสวิตซ์เปิด ($t = t_1$) แรงดันเหนี่ยวนำข้อนกับของตัวเหนี่ยวนำ ซึ่งต่ออนุกรมอยู่กับตัวต้านทาน R ทำให้แรงดันด้านออกมีค่ามากขึ้นจนทำให้ D_M ทำงานจึงทำให้ตัวเหนี่ยวนำคายพลังงานออกมานะเบร์ยนเสมอเป็นแหล่งจ่ายตัวหนึ่ง ทำให้มีกระแสไหลผ่านตัวต้านทาน ดังสมการที่ 2.21

$$V_D = V_L + V_o \quad (2.21)$$

แต่ $V_D = 0V$ จะได้

$$V_L + V_o = 0$$

$$V_L = -V_o$$

$$V_L = -V_o = L \frac{d_{iL}}{dt}$$

$$L \frac{d_{iL}}{dt} = \frac{\Delta_{iL, off}}{\Delta t} = \frac{-V_o}{L} \quad (2.22)$$

dt ในกรณี อู้ในช่วงเวลาที่ดูดน้ำกระแส คือ $dt = (1-D)T$ สามารถจัดรูปสมการใหม่ได้ดังสมการที่ (2.23)

$$\Delta_{iL,off} = -\left(\frac{V_o}{L}\right)(1-D)T \quad (2.23)$$

แทนค่า $t_{on} = DT$ และ $t_{off} = (1-D)T$ ลงในสมการที่ (2.23) จะได้

$$\begin{aligned} \Delta_{iL,on} + \Delta_{iL,off} &= 0 \\ \left(\frac{V_s - V_o}{L}\right)DT + \left[\left(\frac{-V_o}{L}\right)(1-D)T\right] &= 0 \end{aligned}$$

$$\left(\frac{V_s - V_o}{L}\right) - \left(\frac{V_o}{L}\right)(1-D)T = 0$$

$$(V_s - V_o)D - (V_o)(1-D)T = 0$$

$$V_s D - V_o D - V_o (1-D) = 0$$

$$V_s D - V_o D - V_o + V_o D = 0$$

$$V_s D - V_o = 0$$

$$V_s D = V_o$$

$$\frac{V_o}{V_s} = D \quad (2.24)$$

2.3 การออกแบบวงจรกำลังของคอนเวอร์เตอร์ไฟฟ้ากระแสตรง

2.3.1 ตัวเหนี่ยวนำ (Inductor)

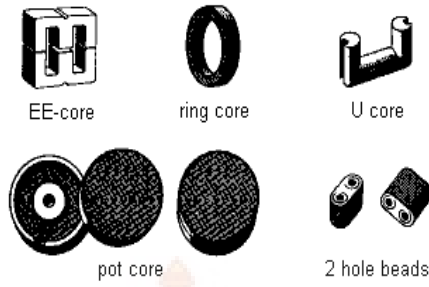
ตัวเหนี่ยวนำเป็นอุปกรณ์ที่ทำงานโดยอาศัยคุณสมบัติทางแม่เหล็กไฟฟ้า การที่จะเข้าใจ การออกแบบตัวเหนี่ยวนำจะต้องทำความเข้าใจเกี่ยวกับ ทฤษฎีทางแม่เหล็กไฟฟ้า โดยตัวเหนี่ยวนำมีหน้าที่สำคัญมากในการเก็บพลังงานและถ่ายพลังงานในคอนเวอร์เตอร์แบบทบ แรงดันไฟฟ้ากระแสตรง

2.3.1.1 แกนเฟอร์ไรต์ (Ferrite Core)

เฟอร์ไรต์เป็นวัสดุประเทกเพอร์โโรแมกเนติก (Ferromagnetic Material) การเหนี่ยวนำแม่เหล็กบนแกนเฟอร์ไรต์ จะมีผลทำให้เกิดการเหนี่ยวนำฟลักซ์แม่เหล็กสูงกว่าการเหนี่ยวนำที่เกิดขึ้นบนแกนอะคามาก แกนเฟอร์ไรต์มีค่าอิมตัวฟลักซ์แม่เหล็กค่อนข้างสูง ประมาณ ในช่วง 3,000–6,000 เกาส์ และเกิดการสูญเสียในตัวแกนเฟอร์ไรต์ต่ำที่ความถี่สูง ดังนั้นตัวเหนี่ยวนำในวงจรสวิตชิ่งจึงนิยมใช้แกนเฟอร์ไรต์มากที่สุด เฟอร์ไรต์ที่นำมาใช้ทำแกนของตัวเหนี่ยวนำสวิตชิ่งจะมีรูปร่างแตกต่างกันออกไปขึ้นอยู่กับการใช้งานและมาตรฐานในการออกแบบ

สารแม่เหล็กที่ใช้ทำแกนแม่เหล็กมักจะเป็นอัลลอยของเหล็ก สารที่นิยมใช้ที่ความถี่ต่ำ ($< 1 \text{ kHz}$) ได้แก่ เหล็กผสมซิลิโอนเจือจาง ($\text{Si} < 1\%$) ซึ่งมีความหนาแน่นฟลักซ์ อิมตัวค่าสูงแต่จะมีการสูญเสียมาก ถ้าส่วนผสมซิลิโอนมีมากขึ้นก็มักจะเป็นชนิด Grain Oriented การสูญเสียจะน้อยลงแต่ราคาถูก得多 นอกจากจะผสมซิลิโอนแล้วยังมีสารแม่เหล็กที่ผสมสารอื่น ๆ เช่น โคบอลต์ นิกเกิล โมลิบดัม เป็นต้น ซึ่งทำงานได้ถึงความถี่ประมาณ 20 กิโลเฮิรตซ์ แต่มีราคาแพงกว่าเหล็กผสมซิลิโอนมาก เฟอร์ไรต์เป็นเซรามิกประกอบไปด้วยออกไซด์ของเหล็ก สังกะสี แมงกานีส หรือนิกเกิลเฟอร์ไรต์ชนิด MnZn มีความหนาแน่นฟลักซ์แม่เหล็กสูงกว่าชนิด NiZn แต่ทำงานได้ถึงความถี่ประมาณ 1 เมกะเฮิรตซ์ ซึ่งต่ำกว่าชนิด NiZn ซึ่งทำงานได้ถึง 1 เมกะเฮิรตซ์ เฟอร์ไรต์มีหลากหลายชนิดตามแต่ละสูตรผสมและมีเลขรหัสต่าง ๆ เช่น 6H20 และ 7H10 เป็นต้น

แกนเฟอร์ไรต์สำหรับแหล่งจ่ายไฟสวิตชิ่งโดยทั่วไปจะถูกผลิตออกมากที่ขนาดและรูปทรง ต่าง ๆ ตามมาตรฐานเดียวกันดังรูปที่ 2.5 เช่น แกนแบบ EI EE EER หรือแกนแบบ POT เป็นต้นปกติผู้ผลิตจะทำแกนเฟอร์ไรต์ออกมาในลักษณะการประกบคู่กัน เพื่อความสะดวกในการประกอบเข้ากับบอร์บิน การประกบแกนเฟอร์ไรต์บนบอร์บินนี้จะทำให้ทางเดินของฟลักซ์แม่เหล็ก ที่เกิดขึ้นในแกนเฟอร์ไรต์มีลักษณะเป็นวงบรรจบได้



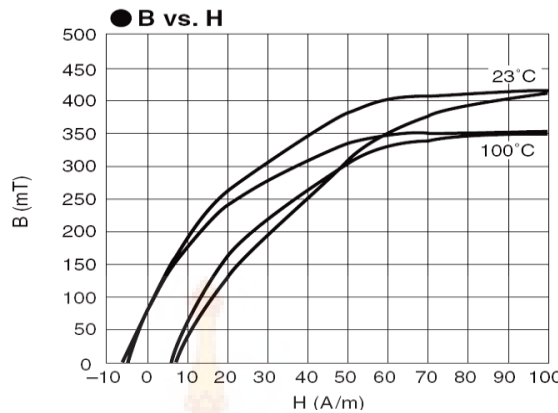
รูปที่ 2.5 ลักษณะของแกนเฟอร์ไรต์แบบต่าง ๆ [1]

ก) ลักษณะสมบัติของเนื้อสารที่ใช้ทำแกนเฟอร์ไรต์

ชนิดของเนื้อสารแกนเฟอร์ไรต์ที่แตกต่างกันจะให้คุณสมบัติทางแม่เหล็กของแกนเฟอร์ไรต์ที่แตกต่างกันด้วย ถึงแม้มีขนาดเท่ากันทุกประการก็ตาม ในแผ่นข้อมูลเนื้อสารที่นำมา กับแกนเฟอร์ไรต์นี้ จะต้องมีรายละเอียดคุณสมบัติของเนื้อสารแสดงໄว้เสมอข้อมูลที่สำคัญควร ทำความเข้าใจและศึกษาໄว้คือ เส้นโค้งอิสเตอเรชีส (Hysteresis Curve) และค่าการสูญเสียของแกน เฟอร์ไรต์ (Core Loss)

เส้นโค้งอิสเตอเรชีสจะแสดงความสัมพันธ์ระหว่างค่าความหนาแน่น พลักซ์แม่เหล็ก (B) ที่เกิดขึ้นในแกนเฟอร์ไรต์กับความเข้มของสนามแม่เหล็ก (H) ที่เกิดจากการเหนี่ยวนำของ ขดลวด ที่พันบนแกนเฟอร์ไรต์ รูปที่ 2.6 จะแสดงเส้นโค้งอิสเตอเรชีสของแกนเฟอร์ไรต์จากรูปจะ เห็นได้ว่าค่าความหนาแน่นพลักซ์แม่เหล็กจะมีค่ามากขึ้น เมื่อความเข้มของสนามแม่เหล็กมีค่าเพิ่ม จนถึงจุดหนึ่งซึ่งค่าความหนาแน่นพลักซ์แม่เหล็กมีค่าเพิ่มขึ้นน้อยมาก แม้ว่าจะมีการเพิ่มขึ้นของ ความเข้มของสนามแม่เหล็กแล้วก็ตาม จากจุดดังกล่าวจะเห็นว่าแกนเริ่มมีการอิ่มตัวของพลักซ์ แม่เหล็ก

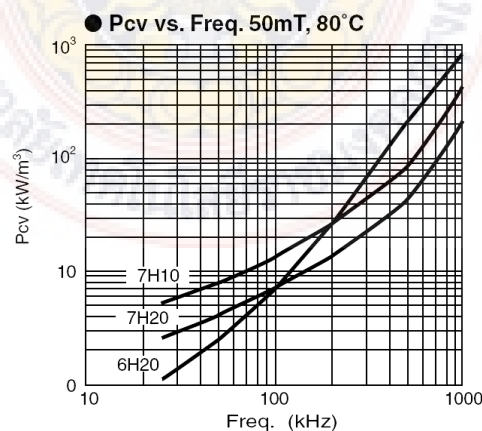
โดยปกติผู้ผลิตจะแสดงกราฟของเส้นโค้งอิสเตอเรชีสเพียงครึ่งเดียวเนื่องจากอิก ครึ่งหนึ่งของเส้นโค้งอิสเตอเรชีสจะมีลักษณะเหมือนกันทุกประการเพียงแต่จะมีลักษณะกลับ ทิศทางกันเท่านั้นดังนั้นการใช้งานของแกนเฟอร์ไรต์ในตัวหนึ่งจะจึงกำหนดค่าความหนาแน่น พลักซ์แม่เหล็กที่เกิดขึ้นในแกนขณะทำงานมีค่าไม่เกินครึ่งหนึ่งของค่าความหนาแน่นพลักซ์ แม่เหล็กสูงสุดก่อนอิ่มตัวของแกนเฟอร์ไรต์เพื่อความปลอดภัย



รูปที่ 2.6 เส้นโค้งมิสเตอริซึสของแกนเฟอร์ไรต์ [1]

ข) ค่าการสูญเสียในแกนเฟอร์ไรต์

การสูญเสียที่เกิดขึ้นในแกนเฟอร์ไรต์ จะทำให้แกนเฟอร์ไรต์ร้อน ซึ่งมีสาเหตุหลัก 2 ประการ คือ การสูญเสียที่เกิดจากลักษณะมิสเตอริซึสของแกน (Hysteresis Loss) และการสูญเสียจากการเกิดกระแสไฟฟ้าในแกนเฟอร์ไรต์ (Eddy Current Loss) ที่ความถี่ 100 กิโลเฮิรตซ์ การสูญเสียจากการเกิดกระแสไฟฟ้าในแกนจะมีค่าน้อยสำหรับแกนที่มีขนาดใหญ่ไม่นานัก ดังนั้น การสูญเสียที่ก่อให้เกิดความร้อนในแกนอาจพิจารณาได้จากการสูญเสียทางมิสเตอริซึส ของแกน เพียงอย่างเดียวตัวอย่างกราฟแสดงค่าการสูญเสียที่เกิดขึ้นในแกนเฟอร์ไรต์แสดงไว้ใน รูปที่ 2.7 ปกติ ค่ากำลังสูญเสียจะถูกระบุไว้เป็นกิโลวัตต์ต่อหนึ่งลูกบาศก์เมตร (kW / m^3) และมีค่าขึ้นกับค่าความหนาแน่นฟลักซ์แม่เหล็ก ความถี่ในการใช้งานรวมถึงอุณหภูมิขณะใช้งานของแกนเฟอร์ไรต์



รูปที่ 2.7 ค่าการสูญเสียในแกนเฟอร์ไรต์ของเนื้อสารชนิด 6H20 7H20 และ 7H10 [1]

2.3.2 การออกแบบตัวหนีบวนา

2.3.2.1 ข้อกำหนดในการออกแบบตัวหนีบวนาสวิตชิ่ง

- ก) ขนาดและรูปร่างรวมทั้งความถี่ของกระแสและแรงดัน
- ข) กำลังสูญเสีย ประสิทธิภาพหรืออุณหภูมิที่เพิ่มขึ้น
- ค) คุณสมบัติทางไฟฟ้าและเชิงกลอื่นๆ

2.3.2.2 ขีดจำกัดในการออกแบบตัวหนีบวนาสวิตชิ่ง

- ก) ความหนาแน่นสนามแม่เหล็กอิมตัวของแกนเหล็ก
- ข) กำลังงานสูญเสียใน漉ดทองแดงหรือแกนเหล็ก
- ค) คุณสมบัติอื่น ๆ เช่น Permeability (μ) เป็นต้น

โดยมีสมการของการออกแบบดังนี้

$$B_{\max} = \frac{\Phi_{\max}}{S} = \frac{\lambda_{\max}}{SN} = \frac{LI_{peak}}{SN} \quad (2.25)$$

จากขีดจำกัดของ漉ดทองแดง โดยคำนึงถึงความสูญเสีย (Cupper loss: P_{cu})

$$P_{cu} = I_{rms}^2 R \quad (2.26)$$

โดยที่ค่า R หาได้จาก

$$R = \rho \frac{l}{A_w} \quad (2.27)$$

2.3.3 การเลือกหรือกำหนดขนาดแกนเหล็กโดยใช้วิธีการคำนวณแบบ A_p (Area Approach)

วิธีนี้เป็นการออกแบบที่ใช้ค่า T_{rise} ซึ่งอาศัยความหนาแน่นของกระแสของ漉ดตัวนำ ($J = 100 - 1000 A/cm^2$) โดยคำนวณขนาดของแกนเหล็กดังนี้

$$N = \frac{Ll_{peak}}{B_{\max} S} \quad (2.28)$$

$$kW = \frac{NI_{rms}}{J} = NA_w \quad (2.29)$$

แทนค่า N จะได้

$$kW = \frac{LI_{peak}I_{rms}}{B_{max}JS} \quad (2.30)$$

เพราะะนั้นจะได้ว่า

$$A_p = WS = \frac{LI_{peak}I_{rms}}{B_{max}Jk} \quad (2.31)$$

โดยมีวิธีการออกแบบดังนี้

- 1) จากข้อกำหนดและข้อจำกัด คำนวณหาค่า A_p จากสมการที่ (2.31)
- 2) เลือกขนาดของแกนให้มีขนาดมากกว่า A_p ที่ได้จากการคำนวณในข้อที่ 1
- 3) คำนวณหาจำนวนรอบของคลอดตัวหนึ่งวน (N) จากสมการที่ (2.28)
- 4) คำนวณหาน้ำดของคลอดตัวนำ A_w จากสมการที่ (2.29)
- 5) เลือกเบอร์ลวดทองแดงให้มี A_w ใหญ่กว่า A_p ที่คำนวณได้จากข้อที่ 4 ซึ่งทำได้โดย การเลือกเบอร์ลวดที่รักภัยน้อยกว่าค่าความลึกผิวทองแดงที่มีความถี่สูงสุดที่ใช้งานนำมาตีเกลียวให้มี A_w ตามที่เลือกไว้

$$\xi(m) = \sqrt{\frac{2\rho}{\mu W}} \quad (2.32)$$

เมื่อ $\xi(m)$ คือ ค่าความลึกผิวทองแดง

$$\rho \quad \text{มีค่าเท่ากับ} \quad \frac{1}{56 \times 10^6} \Omega$$

$$\mu \quad \text{มีค่าเท่ากับ} \quad \mu_o \mu_r$$

- 1) คำนวณหาค่า P_{cu}
- 2) ปรับค่า J ใหม่จนได้ค่า P_{cu} ที่เหมาะสม

3) คำนวณขนาดของช่องอากาศ (Air gap: l_g) และทำการปรับช่องอากาศจนได้ค่า L ตามที่ต้องการ

2.3.3.1 ขั้นตอนการออกแบบตัวเหนี่ยวนำ
ต้องกำหนด L, I และ $\% \Delta I$

ขั้นตอนที่ 1

กำหนดความหนาแน่นของกระแส (J) ในช่วง $2.5 - 10 A/mm^2$ ซึ่งขึ้นอยู่กับลักษณะของการระบายน้ำร้อน กำหนดค่า k อยู่ในช่วง $0.3 - 0.6$ ขึ้นอยู่กับความหนาแน่นของฉนวนที่หุ้มลวดและพื้นที่ช่องว่างระหว่างลวด

หาค่า ΔI โดยที่ $\Delta I = 2(I_{\max} - I)$

หาค่า ΔB โดยที่ $\Delta B = \Delta I \times \Delta B_{\max}$ (สำหรับแกนเฟอร์ไรต์ $\Delta B_{\max} = 0.3T$)

หาค่า B_{\max} โดยที่ $B_{\max} = \Delta B_{\max} - \frac{\Delta B}{2}$

ขั้นตอนที่ 2

คำนวณหา A_p

$$A_p = \frac{LI_{\text{peak}}I_{\text{rms}}}{B_{\max}Jk} \quad (2.33)$$

โดยที่ L มีหน่วยเป็น Henry, I มีหน่วยเป็น Ampere, B มีหน่วยเป็น Tesla, J มีหน่วยเป็น A/m^2 และ A_p มีหน่วยเป็น mm^3 หรือ mm^4 (ตามขนาดของแกน)

ขั้นตอนที่ 3

เลือกขนาดของแกนเหล็กที่มี A_p ใกล้เคียงกับค่า A_p ที่ได้จากการคำนวณในขั้นตอนที่ 2

ขั้นตอนที่ 4

คำนวณจำนวนรอบของขดลวดจากสมการที่ (2.34)

$$N = \frac{Ll_{\text{peak}}}{B_{\max}S} \quad (2.34)$$

เมื่อ S มีหน่วยเป็น mm^2

ขั้นตอนที่ 5

คำนวณหาพื้นที่หน้าตัดของขดลวด

$$A_w = \frac{I_{rms}}{J} \quad (2.35)$$

คำนวณหาเส้นผ่านศูนย์กลางของขดลวด

$$d = \sqrt{\frac{4A_w}{\pi}} \quad (2.36)$$

เลือกใช้ลวดที่มีเส้นผ่านศูนย์กลางใกล้เคียงกันค่า d ที่คำนวณได้

ขั้นตอนที่ 6

ทดสอบว่าสามารถพันขดลวดลงใน W ได้หรือไม่ จากสมการที่ (2.37)

$$W = (N \times \text{พื้นที่หน้าตัดขดลวดที่ใช้จริง}) / k \quad (2.37)$$

ขั้นตอนที่ 7

คำนวณหาค่าความกว้างของ Air Gap (l_g)

$$l_g = \frac{\mu_o N^2 S}{2L} \quad (2.38)$$

เมื่อพันขดลวดเสร็จแล้วทำการวัดค่า L ที่ได้ว่าตรงตามต้องการหรือไม่ถ้าไม่ได้ตามต้องการให้ปรับขนาดความกว้างของ Air Gap จนกระทิ่งได้ค่า L ตามต้องการ สามารถเลือกลวดทองแดงได้จากตารางที่ 2.1

ตารางที่ 2.1 ข้อมูลเกี่ยวกับลวดทองแดง [1]

หมายเลข AWG	เส้นผ่าศูนย์กลาง (mm)	ความต้านทาน (75°) Ω/km	น้ำหนัก kg/km	จำนวนรอบต่อ cm
0	8.25	0.392	457	-
1	7.35	0.494	377	-
2	6.54	0.624	299	-
3	5.83	0.786	237	-
4	5.19	0.991	188	-
5	4.62	1.25	149	-
6	4.12	1.58	118	-
7	3.67	1.99	93.8	-
8	3.26	2.51	74.4	-
9	2.91	3.16	59.0	-
10	2.59	3.99	46.8	14
11	2.31	5.03	37.1	17
12	2.05	6.34	29.4	22
13	1.83	7.99	23.3	27
14	1.63	10.1	18.5	34
15	1.45	12.7	14.7	40
16	1.29	16.0	11.6	51

ตารางที่ 2.1 (ต่อ) ข้อมูลเกี่ยวกับลวดทองแดง

หมายเลข AWG	เส้นผ่าน ศูนย์กลาง (mm)	ความต้านทาน (75°C) Ω/km	น้ำหนัก kg/km	จำนวนรอบต่อ cm
17	1.15	20.2	9.23	63
18	1.02	25.5	7.32	79
19	0.912	32.1	5.8	98
20	0.812	40.5	4.6	123
21	0.732	51.1	3.65	153
22	0.644	64.4	2.3	192
23	0.573	81.2	2.89	237
24	0.511	102	1.82	293
25	0.455	129	1.44	364
26	0.405	163	1.15	454
27	0.361	205	1.1	575
28	0.321	259	1.39	710
29	0.286	327	1.75	871
30	0.255	421	2.21	1090

2.3.4 เพาเวอร์มอสเฟต (Power Mosfet)

มอสเฟตหรือที่รู้จักกันในเพาเวอร์มอสเฟตสามารถทำงานได้ดีที่ความถี่สูงตั้งแต่ 20 กิโลเฮิรตซ์ ไปจนถึงประมาณ 200 - 400 กิโลเฮิรตซ์ เวลาในการเปลี่ยนสถานะค่อนข้างสั้น และการพัฒนาในปัจจุบันมีแนวโน้มจะทำให้เพาเวอร์มอสเฟตทำงานได้ที่ความถี่สูงขึ้น ไปอีก ซึ่งจะเป็นผลดีในการลดขนาดของคอนเวอร์เตอร์ ในส่วนวงจรขับของเพาเวอร์มอสเฟตนั้นสามารถทำได้ง่าย โดยขับเพาเวอร์มอสเฟตได้จากไอซี TLP250 โดยตรง โครงสร้างของเพาเวอร์มอสเฟตจะเป็นไปได้ทั้งในลักษณะ N-Channel และ P-Channel ขากองมอสเฟตประกอบด้วย 3 ขา คือ ขาเกต (Gate) ขาเดรน (Drain) และขาซอร์ส (Source)

กำลังงานสูญเสียที่เกิดขึ้นในเพาเวอร์มอสเฟตขณะทำงาน จะเป็นไปได้ 2 ลักษณะ คือ กำลังงานสูญเสียขณะเปลี่ยนสถานะและกำลังงานสูญเสียขณะนำกระแส เพาเวอร์มอสเฟตจะมีช่วงเวลาเริ่มน้ำกระแสและช่วงเวลาเริ่มหยุดนำกระแสสั้นมาก เพราะตามโครงสร้างของเพาเวอร์

มอสเฟตจะไม่มีการสะสมประจุเกิดขึ้นอย่างไรก็ตามเพาเวอร์มอสเฟตจะมีค่าความต้านทาน ขณะนำกระแสค่อนข้างสูงการสูญเสียกำลังขณะนำกระแสจึงสูงกว่าในโพลาร์เพาเวอร์ทรานซิสเตอร์ถึงแม้ว่าช่วงเวลาเริ่มน้ำกระแสและหยุดนำกระแสของเพาเวอร์มอสเฟตจะค่อนข้างสั้นแต่โดยทั่วไปเพาเวอร์มอสเฟตมักใช้งานที่ความถี่สูง การคิดค่ากำลังงานสูญเสียขณะทำงานจำเป็นต้องนำค่ากำลังงานสูญเสียขณะเปลี่ยนสถานะมาคิดด้วย และเนื่องจากช่วงเวลาเริ่มหยุดนำกระแส (Turn off Time) กับช่วงเวลาเริ่มน้ำกระแส (Turn on Time) ของเพาเวอร์มอสเฟตมีค่าใกล้เคียงกันจึงต้องนำมาคิดทั้งสองช่วงเวลา ดังนั้นกำลังงานสูญเสียของเพาเวอร์มอสเฟตขณะทำงาน P_D จะมีค่าเท่ากับ

$$P_D = P_{sw(on)} + P_{sw(off)} + P_c \quad (2.39)$$

$$P_{sw(on)} = \frac{0.5I_{PK(on)}V_{in}t_r}{T} \quad (2.40)$$

$$P_{sw(off)} = \frac{0.5I_{PK(off)}V_{in}t_f}{T} \quad (2.41)$$

$$P_c = I_{Drms}^2 \times R_{DS(on)} T_{(j)} \quad (2.42)$$

เมื่อ	$P_{SW(on)}$	คือ กำลังงานสูญเสียขณะเริ่มน้ำกระแสและของเพาเวอร์มอสเฟต
	$P_{SW(off)}$	คือ กำลังงานสูญเสียขณะเริ่มหยุดนำกระแส
	P_c	คือ กำลังงานสูญเสียขณะนำกระแสและของเพาเวอร์มอสเฟต
	$I_{PK(on)}$	คือ ค่ากระแสสูงสุดขณะเริ่มน้ำกระแส
	I_{Drms}	คือ ค่ากระแส rms
	R_{DS}	คือ ค่าความต้านทานระหว่างเดรนกับซอร์ส
	$T_{(j)}$	คือ อุณหภูมิroyต่อสูงสุดขณะทำงานของเพาเวอร์มอสเฟต
	t_r	คือ ช่วงเวลาเริ่มน้ำกระแสและของเพาเวอร์มอสเฟต
	t_f	คือ ช่วงเวลาเริ่มหยุดนำกระแสและของเพาเวอร์มอสเฟต

2.3.5 ชนิดและการเลือกใช้ไดโอด

เนื่องจากคอนเวอร์เตอร์จะมีค่าความถี่ในการทำงานของวงจรตั้งแต่ 20 กิโลเฮิรตซ์ขึ้นไปไดโอดที่ใช้ในคอนเวอร์เตอร์จะจำเป็นที่ต้องมีคุณสมบัติดังนี้

- 1) มีแรงดันขั้นนำกระแสต่ำ
- 2) มีช่วงเวลาในการคืนตัว (Reverse Recovery Time: trr) ที่สั้น
- 3) ทนกำลังไฟฟ้าได้สูง

ด้วยเหตุนี้ซิลิโคนไ/do โอดที่ใช้ในวงจรเรียงกระแสทั่วไปจึงไม่สามารถนำมาใช้กับวงจรคอนเวอร์เตอร์ได้ เนื่องจากมีช่วงเวลาคืนตัวที่มาก กำลังสูญเสียในรูปความร้อนจะเกิดขึ้นสูง และมีประสิทธิภาพที่ต่ำโดยไ/do โอดที่ใช้ในวงจรคอนเวอร์เตอร์จะเลือกใช้ใน 3 ชนิดดังต่อไปนี้

- 1) fas - รีคัฟเวอร์ไ/do โอด (Fast Recovery Diode)
- 2) อัลตราfas - รีคัฟเวอร์ไ/do โอด (Ultra Fast Recovery Diode)
- 3) ช็อตต์ไ/do โอด (Schottky Diode)

fas - รีคัฟเวอร์ไ/do โอดมีช่วงเวลาคืนตัวประมาณ 200 – 750 นาโนวินาที ซึ่งสั้นกว่าซิลิโคนไ/do โอดมาก มีอัตราณรงค์นิ่ง 1000 โวลต์ ส่วนอัลตราfas - รีคัฟเวอร์ไ/do โอด มีช่วงเวลาคืนตัวประมาณ 25 – 100 นาโนวินาที มีอัตราณรงค์นิ่ง 1000 โวลต์ แรงดันตกคร่อมขณะที่นำกระแสทางไ/do โอดทั้งสองชนิดมีค่าอยู่ในช่วงเดียวกันคือ ประมาณ 0.6 ถึง 1.5 โวลต์

2.3.6 การเลือกตัวเก็บประจุในวงจรกำลังของวงจรทบแรงดันดีซีทูดีซีคอนเวอร์เตอร์แบบบานานา

ในวงจรกำลังของวงจรทบแรงดันดีซีทูดีซีคอนเวอร์เตอร์แบบบานานา ตัวเก็บประจุ กำลังมีหน้าที่เก็บพลังงานในรูปของประจุไฟฟ้า และทำการจ่ายแรงดันด้านออกหรือสายประจุไฟฟ้าเมื่อมอสเฟตอยู่ในช่วงเวลา นำกระแส และเก็บประจุเมื่อยู่ในช่วงเวลา ไม่นำกระแส จะต้องเลือกตัวเก็บประจุที่สามารถทนแรงดันได้เท่ากับแรงดันทางด้านออกหากเลือกตัวเก็บประจุที่มีขนาดใหญ่จะช่วยในส่วนของการลดแรงดันกระแสเพื่อทางด้านออกลดลง

ตัวเก็บประจุในวงจรกำลังหากพิจารณาในโหมดกระแสต่อเนื่องของวงจรทบแรงดันดีซีทูดีซีคอนเวอร์เตอร์ค่าของตัวเก็บประจุพิจารณาได้จากสมการที่ (2.43) แรงดันกระแสเพื่อทางด้านออก (ΔV_o) และ กระแสด้านออก (I_o) ที่ใช้งาน ค่าคิวต์ไซเคิลสูงสุดที่ใช้งาน ความถี่ในการสับสวิตช์ของคอนเวอร์เตอร์ (f) ดังสมการจะใช้คำนวณหาค่าตัวเก็บประจุที่จะใช้งาน

$$C = \frac{I_{o(\max)} D_{(\max)}}{f \Delta V_o} \quad (2.43)$$

ค่าความต้านทานสมมูลอนุกรมของตัวเก็บประจุ (Equivalent Series Resistance: ESR) หาได้จาก

$$ESR = \frac{\Delta V_o}{\left[\frac{I_{O(\max)}}{1-D_{(\max)}} + \frac{\Delta I_L}{2} \right]} \quad (2.44)$$

2.4 ทฤษฎีพื้นฐานเกี่ยวกับการสร้างสัญญาณดูเลตความกว้างพัลส์ (Pulse Width Modulates, PWM)

ในการควบคุมระดับแรงดันให้คงที่ของแหล่งจ่ายไฟสวิตชิ่ง โดยทั่วไปจะใช้เทคนิคการสร้างสัญญาณดูเลตความกว้างพัลส์ ซึ่งเป็นการควบคุมโดยเปลี่ยนแปลงช่วงเวลาที่อุปกรณ์สวิตช์อยู่ในโหมดเปิด หรืออื่น ๆ นั้นนำกระแส เป็นผลให้เกิดการควบคุมแรงดันที่ด้านออกให้ได้ค่าที่ต้องการ ซึ่งข้อดีของการควบคุมแรงดันแบบสร้างสัญญาณดูเลตความกว้างพัลส์ คือ สามารถรักษาแรงดันให้มีความคงที่สูง เพราะมีการป้อนกลับระดับแรงดันจากด้านออกมาใช้ในการควบคุมด้วย รวมทั้งทำให้เกิดความสูญเสียกำลังงานในการควบคุมแรงดันต่ำสั่งผลให้มีเสถียรภาพต่อการเปลี่ยนแปลงของอุณหภูมิบินะใช้งานสูง

ลักษณะการทำงานของสัญญาณดูเลตความกว้างพัลส์โดยทั่วไปมีอยู่ 3 ลักษณะ คือ

- 1) เปลี่ยนแปลงทั้งความถี่และความกว้างของพัลส์ (Variation of Both Frequency and Pulsewidth)
- 2) เปลี่ยนแปลงความถี่โดยความกว้างของพัลส์คงที่ (Constant Pulse Width with Variable Frequency)
- 3) เปลี่ยนแปลงความกว้างของพัลส์โดยความถี่คงที่ (Constant Frequency with Variable Pulse Width)

การทำงานทั้ง 3 ลักษณะนี้ มีข้อดีและข้อเสียที่ต่างกันไป การทำงานในลักษณะที่ 2 และลักษณะที่ 3 จะดีกว่าการทำงานในลักษณะที่ 1 เนื่องจากสามารถกำหนดความถี่หรือช่วงเวลาที่จะทำให้สวิตชิ่งเรกูเลเตอร์ทำงานได้อย่างมีประสิทธิภาพสูงสุดได้ แต่แบบที่ 1 นั้นความถี่และความกว้างของสัญญาณดูเลตความกว้างพัลส์กำหนดขึ้นเองจากวงจรจึงอาจจะไม่ใช้ความถี่ที่เหมาะสมที่สุดสำหรับการทำงานก็ได้ ดังนั้นวงจรสร้างสัญญาณดูเลตความกว้างพัลส์ส่วนใหญ่จึงใช้การทำงานในลักษณะที่ 2 หรือลักษณะที่ 3 เป็นส่วนใหญ่ในปัจจุบันวงจรสร้างสัญญาณดูเลตความกว้างพัลส์ได้ถูกพัฒนาให้เป็นวงจรสำเร็จรูปในไอซีตัวเดียวเหมาะสมสำหรับใช้งานในด้านแหล่งจ่ายไฟตรงโดยเฉพาะ ซึ่งการใช้งานของไอซีเหล่านี้สามารถใช้งานได้ง่าย โดยต่ออุปกรณ์เพิ่มเติม

ภายใต้การเพียงเล็กน้อย เพื่อใช้เป็นตัวกำหนดจุดทำงานของการสร้างสัญญาณมาตรฐานดูแลความกว้างพัดส์นี้ ๆ เพื่อให้การทำงานของแหล่งจ่ายไฟตรงสวิตซ์มีความสมบูรณ์มากขึ้น อาจจะมีการเพิ่มเติมวงจรสำหรับระบบต่าง ๆ เช่นวงจรเบรย์เก็บพลังงานกลับคืน

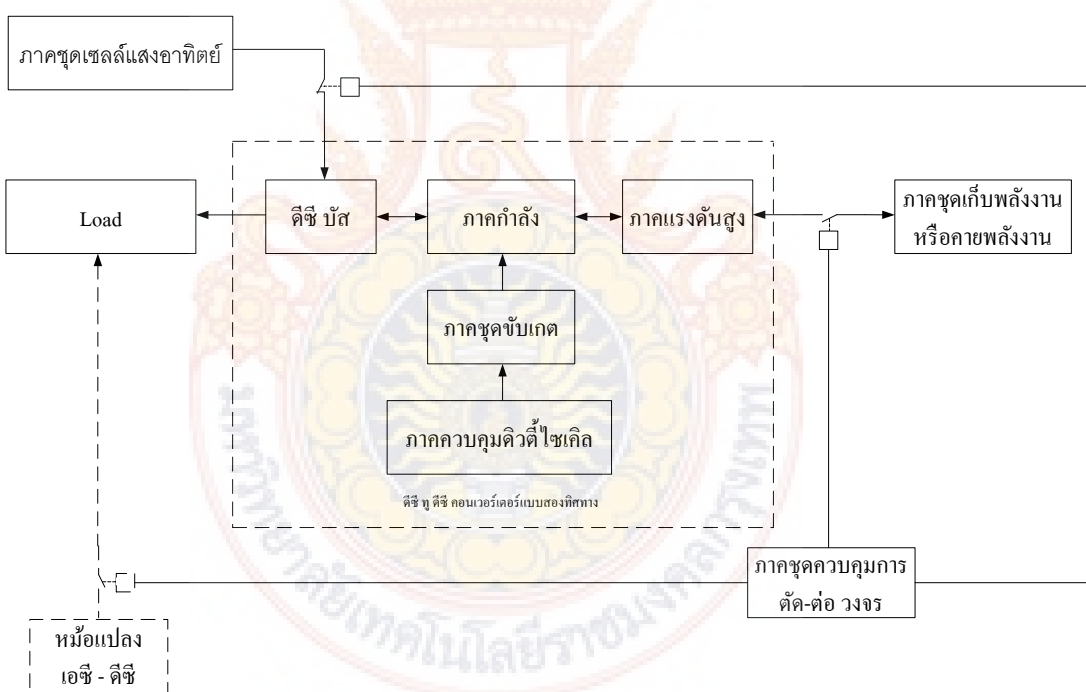


บทที่ 3 การออกแบบและสร้างวงจรคอนเวอร์เตอร์

บทนี้กล่าวถึงรายละเอียดของการออกแบบและสร้างวงจรคอนเวอร์เตอร์เร โฉนดแบบสองทิศทางที่มีการควบคุมกระแสโดยการปรับค่าตัวเร้าไซเคิลแบบอสมมาตรสำหรับชาร์จประจุชูปเปอร์คาปaciเตอร์จากพลังงานแสงอาทิตย์ประกอบด้วยขั้นตอนต่าง ๆ

3.1 การออกแบบ

จากการศึกษาข้อมูลรวมถึงทฤษฎีต่างๆ ที่เกี่ยวข้องในการสร้างวงจรคอนเวอร์เตอร์เร โฉนดแบบสองทิศทางที่มีการควบคุมกระแสโดยการปรับค่าตัวเร้าไซเคิลแบบอสมมาตรสำหรับชาร์จประจุชูปเปอร์คาปaciเตอร์จากพลังงานแสงอาทิตย์เขียนเป็นผังโครงสร้างของโครงงานได้ดังรูปที่ 3.1



รูปที่ 3.1 บล็อกໄດ້ອະແກມการทำงาน

3.1.1 ชุดดีซี ทู ดีซี คอนเวอร์เตอร์แบบสองทิศทาง

3.1.1.1 ภาคควบคุมค่าตัวเร้าไซเคิล ทำหน้าที่ ควบคุมการปรับค่าตัวเร้าไซเคิล ได้ตามความเหมาะสม โดยจะสร้างสัญญาณมอคุเลตความกว้างพัลส์ควบคุมการสวิตช์ที่เพาเวอร์มอสเฟต

ให้มีการทำงานสลับกันระหว่างโหนดทบเรงดัน กับ โหนดทอนเรงดัน โดยสัญญาณที่ได้จะเป็นสัญญาณรูปคลื่นสีเหลือง

3.1.1.2 ภาคชุดขับเคลื่อน ทำหน้าที่ ขับสวิตซ์เพาเวอร์มอสเฟตทั้งสองตัวให้ทำงานตามสัญญาณมอคุเลตความกว้างพลัสที่ได้จากการควบคุมดิจิตตี้ไซเคิล

3.1.1.3 ภาคกำลัง ทำหน้าที่ เป็นส่วนของภาครัฐกำลัง ซึ่งทำหน้าที่ในการส่งจ่ายพลังงานไปยังระบบคอนเวอร์เตอร์แบบสองทิศทาง โดยอาศัยหลักการทำงานของจรดีซีทูดีซี คอนเวอร์เตอร์แบบสองทิศทาง

3.1.1.4 ภาคแรงดันสูง ทำหน้าที่ เป็นส่วนแรงดันด้านเข้าหรือแรงดันด้านออกของวงจรแล้วแต่การใช้งาน

3.1.1.5 ดีซี บัส ทำหน้าที่เป็น ส่วนที่จะรักษาระดับแรงดันไฟฟ้าที่ได้จากคอนเวอร์เตอร์ให้มีค่าคงที่ตลอดเวลา เพื่อที่จะจ่ายให้กับภาคชุดกล้องวงจรปิด และ ภาคชุดเก็บพลังงาน หรือภายในตัว ต่อไป

3.2. ໂຄດຂອງວົງຈານ

3.2.1 ภาคชุดเก็บพลังงานหรือคายพลังงาน ทำหน้าที่ เป็นส่วนที่เก็บพลังงาน หรือ คายพลังงาน ของวงจร โดยส่วนนี้จะใช้แบตเตอรี่เป็นตัวเก็บพลังงานหรือคายพลังงาน

3.2.2 ภาคชุดเซลล์แสงอาทิตย์ทำหน้าที่ เป็นแหล่งจ่ายไฟให้กับวงจรโดยจะจ่ายไฟให้กับกล้องวงจรปิดให้ทำงาน และก็จะชาร์จแบตเตอรี่ไปด้วยพร้อม ๆ กัน

3.2.3 ภาคชุดควบคุมการตัด-ต่อ วงจร ทำหน้าที่เป็นตัวตัด-ต่อ การทำงานของแหล่งจ่ายต่างๆ ที่ป้อนให้กับดีซีบัสและส่วนต่างๆ ของวงจร ให้มีความเหมาะสมตามช่วงเวลาการใช้งาน

3.3 การออกแบบและสร้างวงจรคอนเวอร์เตอร์รีโซഴີແນນ້ນ໌ແບນສອງທຶນທາງ

วัสดุกำลังของชุดแหล่งจ่ายพลังงานแสงอาทิตย์สำหรับกล้องวงจรปิดจะประกอบไปด้วยอุปกรณ์ที่สำคัญ คือ ตัวเหนี่ยวนำเรซิโซแนนซ์ ตัวเหนี่ยวนำที่เลือกที่สุดของวงจร ตัวเก็บประจุเรซิโซแนนซ์ ตัวเก็บประจุทางด้านออก อุปกรณ์ที่ทำหน้าที่สวิตช์ วงจรกำลังต้องมีความสามารถทำงานได้ที่ความถี่ 20 กิโลเฮิรตซ์ ซึ่งเป็นความถี่ที่เหมาะสมในการสวิตช์ของอุปกรณ์สวิตช์ ในวงจรกำลังจะประกอบไปด้วยการออกแบบส่วนต่างๆ ดังนี้

3.3.1 การคำนวณหาค่าตัวเหนี่ยวนำเรโซแนนซ์

ในวงจรตอนแรงดัน – ทบแรงดันของดีซีทูดีซีคอนเวอร์เตอร์แบบสองทิศทาง ตัวเหนี่ยวนำเรโซแนนซ์เป็นอุปกรณ์ที่สำคัญมากเนื่องจากมีหน้าที่ในการเก็บและถ่ายพลังงานเพื่อที่จะทบทั้งงานและตอนพลังงานให้เหมาะสมกับการใช้งานเป็นผลให้ระดับแรงดันทางด้านออกมีค่าสูงกว่าระดับแรงดันที่ด้านเข้า สามารถหาได้จากสมการที่ (3.1)

$$L_r = \left[\frac{[\Delta V \times (\Delta V + 2V)] \times C}{I^2} \right] \quad (3.1)$$

แทนค่าเพื่อหาค่าตัวเหนี่ยวนำเรโซแนนซ์

$$L_r = \left[\frac{[(8)(8 + (2 \times 5))] (8.68 \times 10^{-9})}{(0.5)^2} \right] = 5 \mu H \quad (3.2)$$

3.3.2 การคำนวณหาค่าตัวเหนี่ยวนำที่เล็กที่สุด

ตัวเหนี่ยวนำเป็นอุปกรณ์สำคัญมีหน้าที่เก็บและถ่ายกำลังงานซึ่งเป็นผลให้ระดับแรงดันทางมีค่าสูงกว่าระดับแรงดันทางด้านเข้า การคำนวณหาค่าตัวเหนี่ยวนำที่เล็กที่สุดของวงจรคำนวณได้จากสมการที่ (3.3)

$$L_{\min} = \frac{(1-D)R}{2f} \quad (3.3)$$

D คือ วัตถุจักรหน้าที่ (ดิวตี้ไซเคิล) หาได้จาก

$$D = \frac{(V_o - V_s)}{V_o} = \frac{(8-5)}{8} = 0.38 \quad (3.4)$$

แทนค่าเพื่อหาค่าตัวเหนี่ยวนำที่เล็กที่สุด

$$L_{\min} = \frac{(1-0.38)(10)}{(2)(20 \times 10^3)} = 155 \mu H \quad (3.5)$$

3.3.3 การคำนวณหาค่าตัวเก็บประจุเรโซแนนซ์

ตัวเก็บประจุเรโซแนนซ์สามารถคำนวณได้จากสมการที่ (3.6)

$$C_r = \left[\frac{LI^2}{\Delta V \times (\Delta V + 2V)} \right] \quad (3.6)$$

แทนค่าเพื่อหาค่าตัวเก็บประจุเรโซแนนซ์

$$C_r = \left[\frac{(5 \times 10^{-6})(0.5)^2}{(8)(8 + (2 \times 5))} \right] = 8.68 \text{ nF} \quad (3.7)$$

ดังนั้นควรเลือกขนาดตัวเก็บประจุทางด้านออกของวงจรที่มีค่าสูงกว่า 8.68 นาโนฟารัด และแรงดันที่ทันได้ต้องไม่ต่ำกว่าแรงดันด้านออก โครงการนี้ได้เลือกใช้ขนาดตัวเก็บประจุเรโซแนนซ์ 10 นาโนฟารัด ทันแรงดันได้ 63 โวลต์

3.3.4 การคำนวนหาค่าตัวเก็บประจุด้านออก

ในวงจรกำลังของวงจร ทอนแรงดัน-ทอนแรงดัน ดิซีฟูดซีคอนเวอร์เตอร์ ตัวเก็บประจุด้านออกของวงจร มีหน้าที่ในการเก็บพลังงานรูปของประจุไฟฟ้าและทำการจ่ายแรงดันออกให้กับโหลดหรือสายประจุไฟฟ้าเมื่ออุปกรณ์สวิตช์ Turn ON และทำการเก็บประจุเมื่ออุปกรณ์สวิตช์ Turn OFF ดังนั้นจำเป็นต้องเลือกตัวเก็บประจุที่สามารถทนแรงดันได้เท่าหรือมากกว่าแรงดันด้านออก หากเลือกตัวเก็บประจุที่มีขนาดใหญ่จะมีส่วนช่วยในการลดแรงดันกระเพื่อมทางด้านออก การคำนวนหาค่าตัวเก็บประจุทางด้านออกหาได้จากสมการที่ (3.8)

$$C_o = \frac{I_o D}{f \Delta V_o} \quad (3.8)$$

แทนค่าเพื่อหาค่าตัวเก็บประจุทางด้านออก

$$C_o = \frac{0.5 \times 38}{20 \times 10^3 \times 8} = 118.75 \mu F \quad (3.9)$$

ดังนั้นควรเลือกขนาดตัวเก็บประจุทางด้านออกของวงจรที่มีค่าสูงกว่า 118.75 ไมโครฟารัด และแรงดันที่ทันได้ต้องไม่ต่ำกว่าแรงดันด้านออก โครงการนี้ได้เลือกใช้ขนาดตัวเก็บประจุทางด้านออก 220 ไมโครฟารัด ทันแรงดันได้ 63 โวลต์ ใน การเลือกค่าตัวเก็บประจุหากใช้ค่าที่มีความจุยิ่งสูงจะทำให้แรงดันกระเพื่อมทางด้านออกมีค่าลดลง แต่ค่าความจุของ

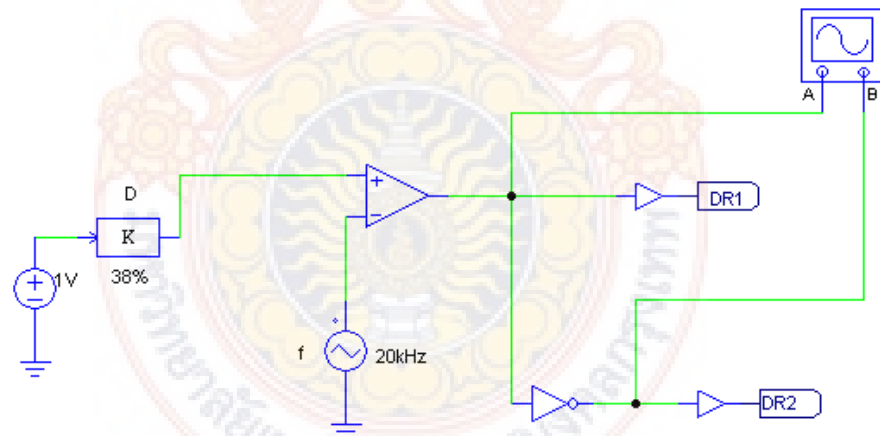
ตัวเก็บประจุจะต้องไม่น้อยกว่าค่าที่คำนวณได้ ถ้าเลือกตัวเก็บประจุที่มีค่าความจุและอัตรา放 แรงดันสูง ๆ ราคาก็จะสูงตามไปด้วยจึงต้องเลือกให้เหมาะสมกับการใช้งาน

3.3.5 การเลือกอุปกรณ์สวิตช์

อุปกรณ์สวิตช์ในวงจรตอนแรงดัน-ทบแรงดันดีซีทูดีซีคอนเวอร์เตอร์ควรเลือก อุปกรณ์ที่สามารถทำงานได้ดีที่ความถี่สูงเวลาในการเปลี่ยนสถานะค่อนข้างสั้น ในโครงการนี้ได้ เลือกใช้เพาเวอร์มอสเฟตทำหน้าที่เป็นอุปกรณ์สวิตช์ เวลาในการสับสวิตช์อยู่ในช่วงนาโนวินาที และในวงจรขับเพาเวอร์มอสเฟตนั้นสามารถทำได้จ่ายไฟกระแสคุณด้วยแรงดันกระแสแสตนเดิร์ฟ ค่าต่ำ ๆ เพื่่านั้น

โดยได้เลือกใช้เพาเวอร์มอสเฟต เบอร์ IRF3205 ของบริษัท International Rectifier ซึ่งมีคุณลักษณะสมบัติต่าง ๆ ที่สำคัญดังนี้ ความต้านทานระหว่างขาเดренและชาชอร์ส ขณะ นำกระแส $R_{DS(on)} = 0.008$ โอม ซึ่งมีค่าต่ำมาก แรงดันตกครั้งแรกระหว่างขาเดренและชาชอร์ส (V_{DS}) ที่เท่านั้นได้ 55 โวลต์ กระแสเดрен (I_D) สูงสุดที่สามารถให้ผลผ่านได้ 110 แอมเปอร์

3.4 การออกแบบและสร้างวงจรควบคุมของคอนเวอร์เตอร์

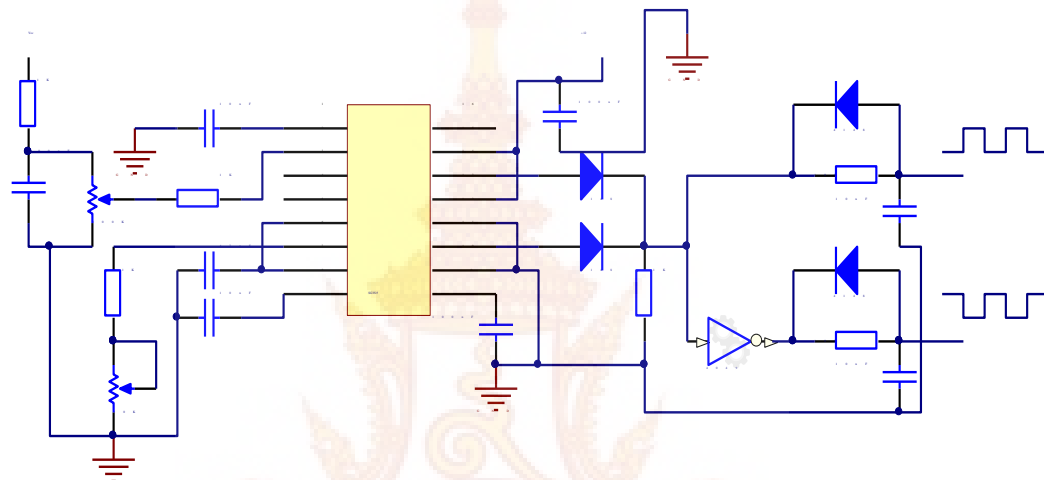


รูปที่ 3.2 วงจรชุดควบคุม

วงจรชุดควบคุมดังภาพที่ 3.3 จะเป็นชุดที่สร้างสัญญาณมอคูลเดตความกว้างพัลส์ความถี่ขึ้นมา เพื่อใช้ในการขับสวิตช์เพาเวอร์มอสเฟตทั้งสองตัว โดยสัญญาณมอคูลเดตความกว้างพัลส์จะใช้งานที่ ความถี่ 20 กิโลเฮิรตซ์ ซึ่งเป็นความถี่ที่มีความเหมาะสมกับการใช้งาน และสัญญาณมอคูลเดตความ กว้างพัลส์ความถี่สามารถปรับได้จาก 0 – 100 เปอร์เซ็นต์ ตามความต้องการในการใช้

งาน ส่วนสัญญาณที่ใช้ในการสวิตช์จะใช้สัญญาณจำนวนสองชุด โดยจะได้สัญญาณมอคุเลตความกว้างพัลส์สัญญาณแรกจากไอซีสร้างสัญญาณ แล้วจึงนำสัญญาณดังกล่าวมาผ่านไอซีนี้อตเกตก็จะได้สัญญาณในเฟสตรงกันข้ามกับสัญญาณที่มีในตอนแรก แล้วจึงนำสัญญาณทั้งสองสัญญาณไปทำการขับสวิตช์เพาเวอร์มอสเฟตให้ทำงานต่อไป

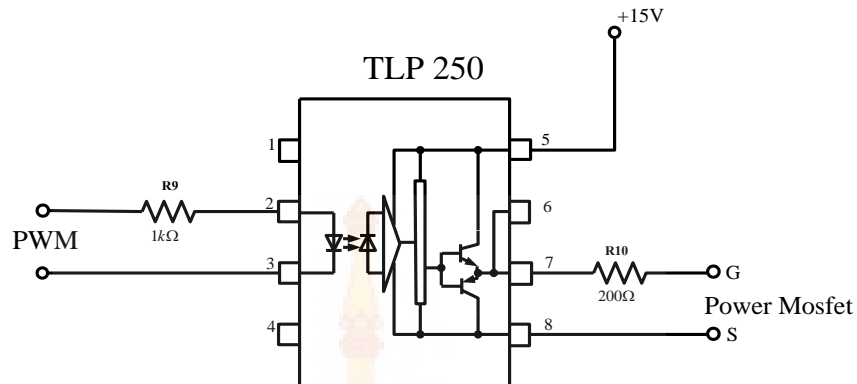
3.4.1 วงจรสร้างสัญญาณมอคุเลตความกว้างพัลส์ความถี่



รูปที่ 3.3 วงจรสร้างสัญญาณมอคุเลตความกว้างพัลส์ความถี่โดยใช้ไอซีเบอร์ SG3525

เพื่อความสะดวกและให้ง่ายต่อการเขียน วงจรสร้างสัญญาณมอคุเลตความกว้างพัลส์ความถี่มีขนาดเล็กเช่นเดียวกับ IC รุ่น SG3525 ขนาด 16 ขา ดังแสดงในวงจรสร้างสัญญาณมอคุเลตความกว้างพัลส์ความถี่ที่ 3.4 โดยวงจรสามารถปรับความถี่ได้จากตัวต้านทานปรับค่าได้ที่ขา 6 และสามารถปรับ คิวตี้ไซเคิล ได้จากตัวต้านทานปรับค่าได้ที่ขา 2 โดยในที่นี้จะใช้ความถี่คงที่ที่ 20 กิโลเฮิรตซ์ ส่วนคิวตี้ไซเคิล จะสามารถปรับได้ตามความเหมาะสมจากการควบคุมแรงดันไฟฟ้าที่ดิจิบัส 5 โวลต์

3.4.2 วงจรขับนำเกตด้วยไอซี TLP250



รูปที่ 3.4 วงจรขับนำเกตโดยใช้ไอซีเบอร์ TLP250 [1]

เพื่อความสะดวกและให้วงจรขับมีขนาดเล็กจึงใช้ไอซีสำเร็จรูป TLP250 ขนาด 8 ขา ดังแสดงวงจรขับเกตไว้ในรูปที่ 3.4 จากวงจรสัญญาณด้านเข้าเป็นสัญญาณที่ถูกส่งมาจากวงจรสร้างสัญญาณ模ดูเลตความกว้างพัลส์ความถี่มีขนาดแรงดัน 0 โวลต์ ถึง 5 โวลต์ โดยจะรับสัญญาณด้านเข้าผ่านขา 2 และขา 3 เพื่อที่จะทำการใบอัสดให้แก่ได้โดยเปลี่ยนเส้นที่ต่ออยู่ระหว่างขา 2 และขา 3 ทางด้านเข้า โดยจะต่อผ่านความต้านทาน 1 กิโลโอห์ม เพื่อให้มีกระแสไฟ流ผ่านไปยังได้โดยเปลี่ยนเส้นไม่สูงเกินไปจนเกิดความเสียหาย ส่วนทางด้านออกกำหนดให้แรงดันมีขนาดเท่ากับ 15 โวลต์ โดยรับแรงดันจากแหล่งจ่ายไฟจากชุดวงจรจ่ายไฟเลี้ยง

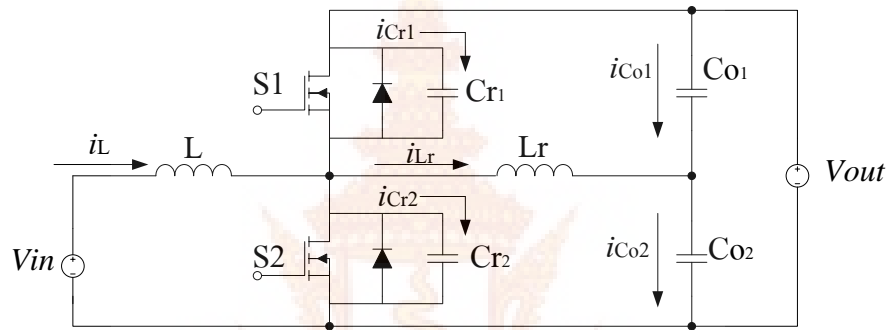
3.4.3 วงจรเดดไทม์ (Dead Time Circuit)

ทำหน้าที่ในการหน่วงสัญญาณคำสั่งสวิตช์ เพื่อป้องกันไม่ให้ชุดสวิตช์ทั้ง 2 ตัวในแต่ละเฟสทำงานพร้อมกัน โดยสัญญาณคำสั่งสวิตช์จะถูกหน่วงด้วยตัวต้านทานและตัวเก็บประจุในขอบขี้น เพื่อป้องกันไม่ให้เกิดการลัดวงจรของสวิตช์ทั้ง 2 ชุด และเมื่อสัญญาณด้านเข้าเป็น 1 หลังจากผ่านน็อตเกตจะกลับเป็น 0 ตัวเก็บประจุซึ่งมีแรงดันสูงอยู่จะหายประจุผ่านตัวต้านทาน เมื่อระดับแรงดันที่ตัวเก็บประจุต่ำถึงระดับที่น็อตเกตมองเป็น 0 สัญญาณด้านออกเป็น 1 ช่วงนี้จะไม่มีการหน่วงเวลา เพราะกระแสไฟ流ผ่านได้โดยมาประจุที่ตัวเก็บประจุแล้วเต็มทันที ทำให้ด้านออกของน็อตเกตอิกตัวเป็น 0 การปรับค่าความต้านทานจะทำให้ระยะเวลาเปลี่ยนไปโดยโครงงานนี้จะใช้ค่าเดดไทม์ที่ 1 ไมโครวินาที ใช้ตัวต้านทานขนาด 10 โอห์ม กับตัวเก็บประจุขนาด 100 นาโนฟาร์ด

บทที่ 4

ผลการดำเนินงานและการวิเคราะห์

ในบทนี้กล่าวถึงผลการทดสอบที่ได้จากการออกแบบวงจรคอนเวอร์เตอร์เรโซแนนซ์แบบสองทิศทางที่มีการปรับกำลังโดยการปรับค่าตัวแปรความต้านทานที่ต่ออยู่กับวงจร ซึ่งผลทดสอบการทำงานของระบบแบ่งออกเป็นสองส่วนคือ ส่วนการจำลองการทำงานของระบบด้วยการจำลองด้วยคอมพิวเตอร์ และส่วนของการทดสอบของวงจรคอนเวอร์เตอร์



รูปที่ 4.1 วงจรคอนเวอร์เตอร์เรโซแนนซ์แบบสองทิศทาง

4.1 การจำลองการทำงานด้วยโปรแกรมคอมพิวเตอร์

การทำงานของวงจรวงจรคอนเวอร์เตอร์เรโซแนนซ์แบบสองทิศทางที่มีการปรับกำลังโดยการปรับค่าตัวแปรความต้านทานที่นำเสนอนี้ได้ถูกทำการจำลองด้วยโปรแกรมคอมพิวเตอร์มีรายละเอียดดังต่อไปนี้

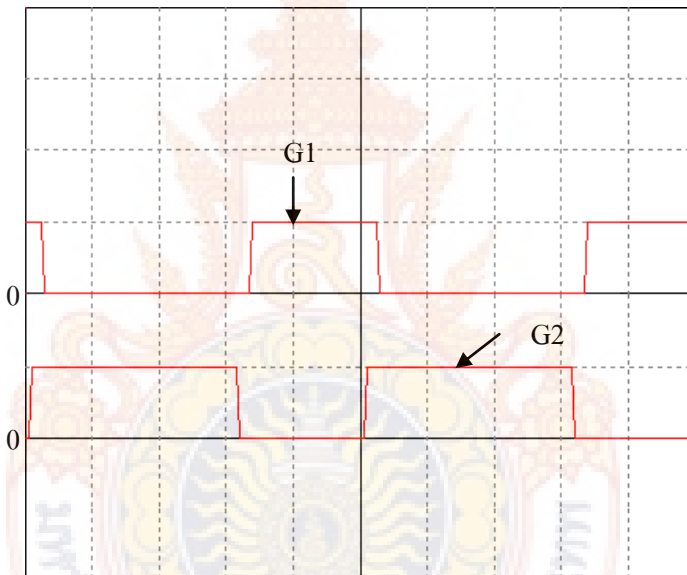
4.1.1 การจำลองการทำงานในโหมดดันแรงดัน (Boost Mode)

ตารางที่ 4.1 รายการและข้อกำหนดทั่วไปที่ใช้จำลองการทำงานในโหมดดันแรงดัน

รายการ/สัญลักษณ์	ข้อกำหนด
แรงดันด้านเข้า (V_{in})	150 โวลต์
ค่าความจุด้านเข้า (C_i)	220 ไมโครฟาร์ด
ค่าความหน่วงนำเล็กที่สุด (L_{min})	190 ไมโครเฮนรี
ค่าความจุเรโซแนนซ์ (C_r)	10 นาโนฟาร์ด

ค่าความหนาแน่นสำหรับไซแนนซ์ (L_s)	5 ไมโครเซนติเมตร
ค่าความจุค้านออก (C_o)	220 ไมโครฟาร์ด
ค่าความต้านทานโหลด (R_{Load})	200 โอห์ม
แรงดันค้านออก (V_o)	240 โวลต์
คิวตี้ไซเคิล (D)	38 เปอร์เซ็นต์
ความถี่ (f)	20 กิโลเฮิรตซ์

จากรูปที่ 4.1 และ 4.2 จะเป็นการจำลองการทำงานด้วยการทำงานจำลองในระบบคอมพิวเตอร์ ของวงจรทบแรงดัน โดยค่าที่ใช้ในการจำลองการทำงานจะแสดงในตารางที่ 4.1

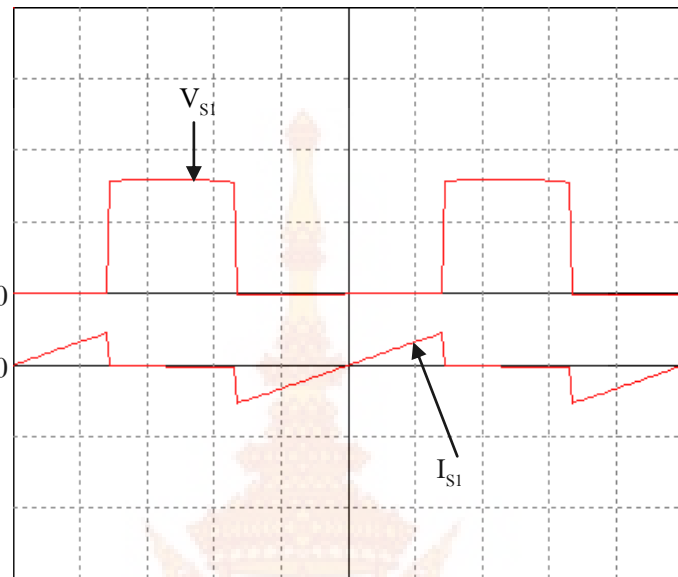


รูปที่ 4.3 สัญญาณขับเกตที่คิวตี้ไซเคิล 38 เปอร์เซ็นต์

($G_1 : 1V/Div$, $G_2 : 1V/Div$, Time : 10us/Div)

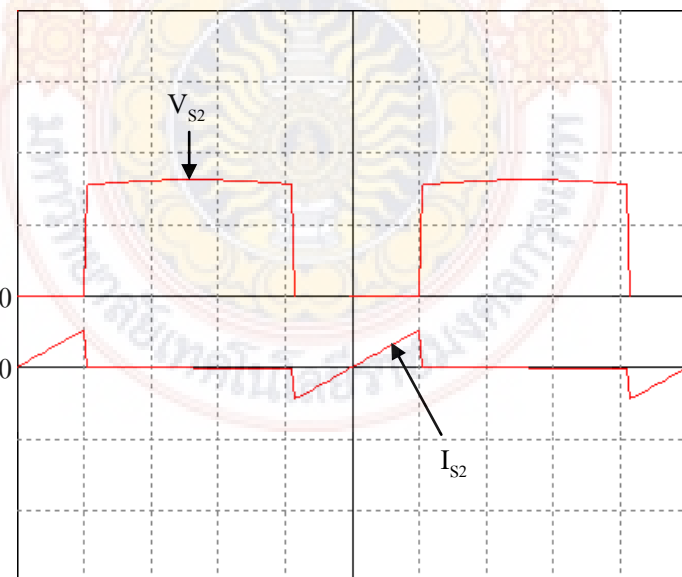
จากรูปที่ 4.3 และ รูปที่ 4.4 จะเป็นผลของการจำลองการทำงานด้วยโปรแกรม PSIM โดยจะมีการแสดงสัญญาณขับเกต และ แรงดันและกระแสขัมมะเพาเวอร์มอสเฟตทำงาน การให้ของกระแสจะเริ่มน้ำกระแสที่ได้โดยในด้านลบ เมื่อถึงจุดที่สภาวะแรงดันเป็นศูนย์ เพาเวอร์มอสเฟตก็จะเริ่มน้ำกระแสในด้านบวก ตัวในรูปที่ 4.5 แสดงแรงดันทางด้านออกใน ใหมกดทบแรงดัน โดยกำหนดแรงดันทางด้านเข้า 150 โวลต์ วงจรทบแรงดันทำงานที่คิวตี้ไซเคิล

38 เปอร์เซ็นต์ จะได้แรงดันทางด้านออกเท่ากับ 240 โวลต์ ซึ่งเป็นแรงดันที่สามารถประจุแบตเตอรี่ได้



ก. เพาเวอร์มอสเฟตตัวที่หนึ่ง

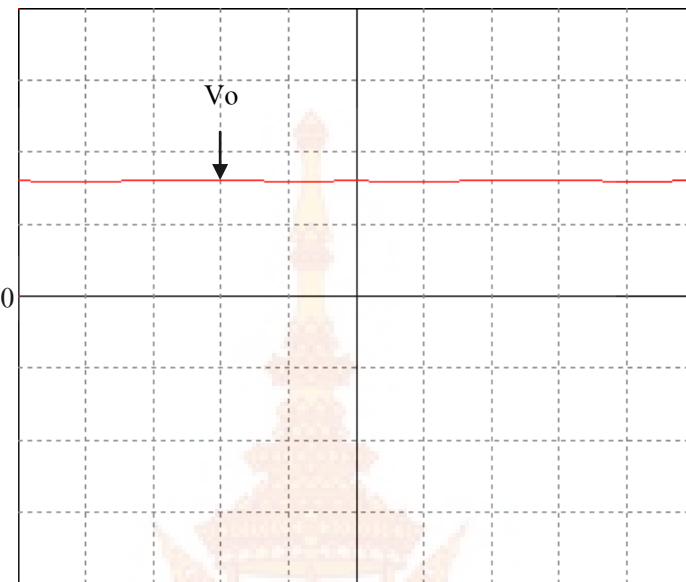
($V_{SI} : 100V/Div$, $I_{SI} : 10A/Div$, Time : 10us/Div)



ข. เพาเวอร์มอสเฟตตัวที่สอง

($V_{SI} : 100V/Div$, $I_{SI} : 10A/Div$, Time : 10us/Div)

รูปที่ 4.4 แรงดันและกระแสขัมภีร์เมื่อสเก็ตทำงานที่ดิวตี้ไซเคิล 38 เปอร์เซ็นต์



รูปที่ 4.5 แรงดันทางด้านออก

($V_o : 100V/Div$, Time : 10us/Div)

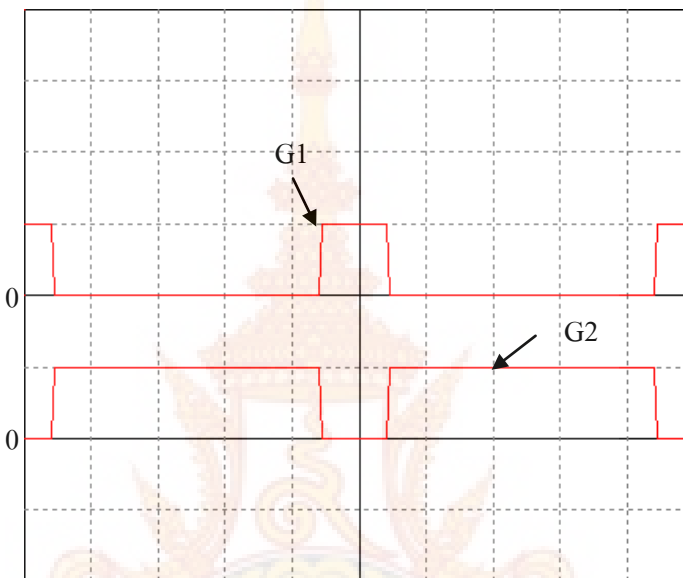
4.1.2 การจำลองการทำงานในโหมดทอนแรงดัน

ตารางที่ 4.2 รายการและข้อกำหนดทั่วไปที่ใช้จำลองการทำงานในโหมดทอนแรงดัน

รายการ/สัญลักษณ์	ข้อกำหนด
แรงดันด้านเข้า (V_{in})	150 โวลต์
ค่าความจุด้านเข้า (C_i)	220 ไมโครฟาร์ด
ค่าความหนึ่งยาน้ำเล็กที่สุด (L_{min})	190 ไมโครเฮนรี
ค่าความจุเรโซไซแนซ์ (C_r)	10 นาโนฟาร์ด
ค่าความหนึ่งยาน้ำเรโซไซแนซ์ (L_r)	5 ไมโครเฮนรี
ค่าความจุด้านออก (C_o)	220 ไมโครฟาร์ด
ค่าความต้านทานโหลด (R_{Load})	10 โอห์ม
แรงดันด้านออก (V_o)	120 โวลต์

ดิวตี้ไซเคิล (D)	16 เปอร์เซ็นต์
ความถี่ (f)	20 กิโลเฮิรตซ์

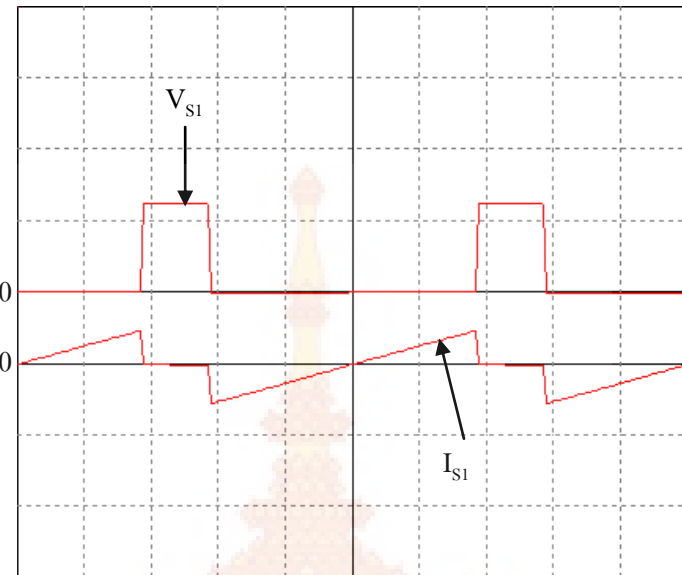
จากรูปที่ 4.6 และ 4.7 จะเป็นการจำลองการทำงานด้วยโปรแกรม PSIM ของวงจรตอนแรงดัน โดยค่าที่ใช้ในการจำลองการทำงานจะแสดงในตารางที่ 4.2



รูปที่ 4.8 สัญญาณขับเกตที่ดิวตี้ไซเคิล 16 เปอร์เซ็นต์

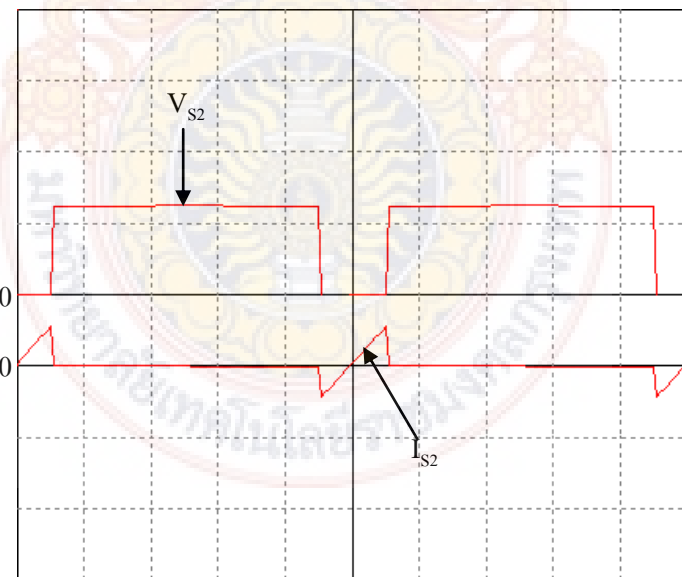
($G_1 : 1V/Div$, $G_2 : 1V/Div$, Time : 10us/Div)

จากรูปที่ 4.8 และรูปที่ 4.9 จะเป็นผลของการจำลองการทำงานด้วยโปรแกรมคอมพิวเตอร์โดยจะมีการแสดงสัญญาณขับเกต แรงดันและกระแสไฟฟ้าเริ่มต้นเป็นศูนย์เพาเวอร์มอสเฟต ก็จะเริ่มน้ำกระแทกที่ได้อุดในด้านบน เมื่อถึงจุดที่สภาวะแรงดันเป็นศูนย์เพาเวอร์มอสเฟต ก็จะเริ่มน้ำกระแทกในด้านขวา ต่อไปในรูปที่ 4.10 แสดงแรงดันทางด้านออกในโหนดตอนแรงดัน โดยกำหนดแรงดันทางด้านขวา 150 โวลต์ วงจรตอนแรงดันทำงานที่ดิวตี้ไซเคิล 16 เปอร์เซ็นต์ จะได้แรงดันทางด้านออกเท่ากับ 120 โวลต์ ซึ่งเป็นแรงดันที่ดีซีบัส



ก. เพาเวอร์มอสเฟตตัวที่หนึ่ง

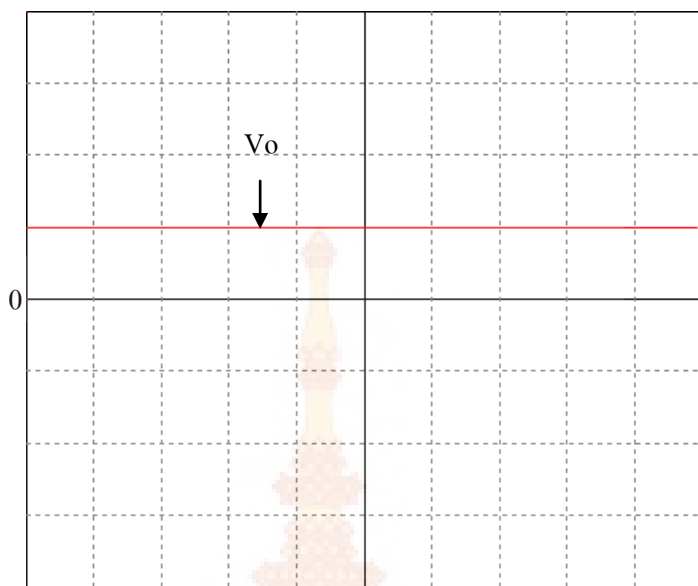
($V_{S1} : 100V/Div$, $I_{S1} : 10A/Div$, Time : 10μs/Div)



ข. เพาเวอร์มอสเฟตตัวที่สอง

($V_{S1} : 100V/Div$, $I_{S1} : 10A/Div$, Time : 10μs/Div)

รูปที่ 4.9 แรงดันและกระแสขณะเพาเวอร์มอสเฟตทำงานที่คิวตี้ไซเคิล 16 เปอร์เซ็นต์



รูปที่ 4.10 แรงดันทางด้านออก

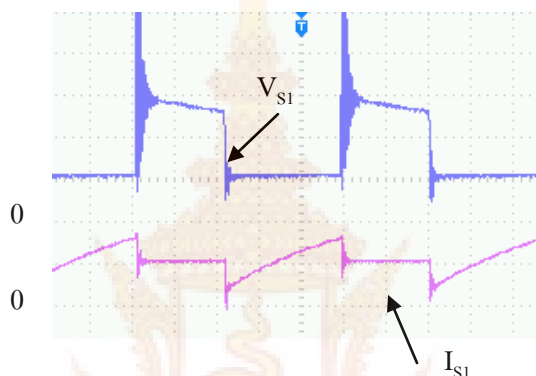
($V : 100V/Div$, Time : $10\mu s/Div$)

4.2 การทดสอบการทำงานของระบบจริง

ในการทดสอบการทำงานจริงของวงจรทบทั่งคัน ท่อนแรงดัน คอนเวอร์เตอร์แบบส่องทิศทางนี้จะทดสอบการให้งานทีละโหมดการทำงานซึ่งมีรายละเอียดดังนี้

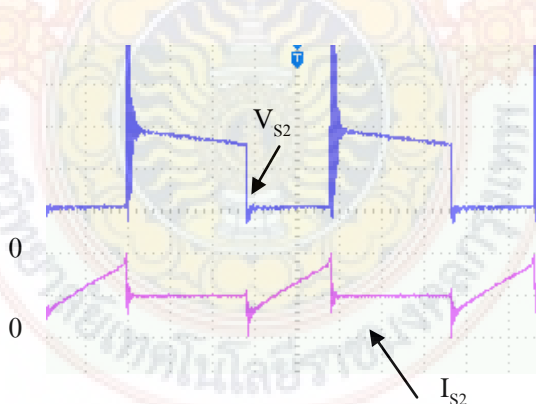
4.2.1 การทดสอบการทำงานจริงในโหมดทบทั่งคัน

การทดสอบการทำงานจริงในโหมดทบทั่งคันจะมีการแสดงผลแรงดันและกระแสเพาเวอร์มอสเฟตทำงาน โดยจะทดสอบที่คิวต์ไซเคิลต่าง ๆ ดังรูปที่ 4.11 และ 4.12



ก. เพาเวอร์มอสเฟตตัวที่หนึ่ง

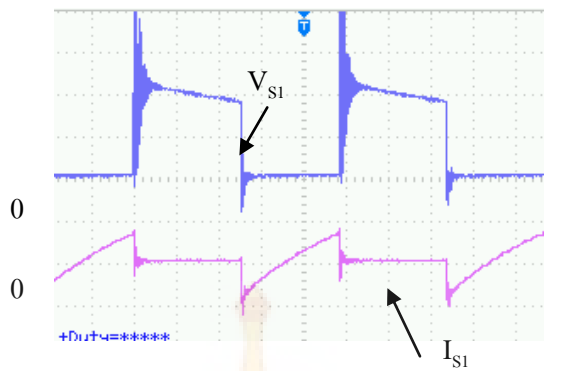
($V_{S1} : 100V/Div$, $I_{S1} : 10A/Div$, Time : 10us/Div)



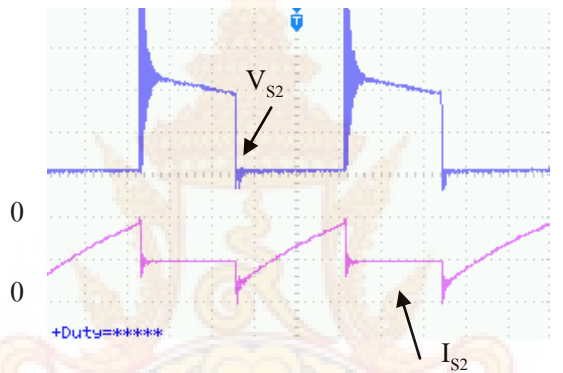
ข. เพาเวอร์มอสเฟตตัวที่สอง

($V_{S2} : 100V/Div$, $I_{S2} : 10A/Div$, Time : 10us/Div)

รูปที่ 4.11 แรงดันและกระแสเพาเวอร์มอสเฟตทำงานที่คิวต์ไซเคิล 40 เบอร์เซ็นต์



ก. เพาเวอร์มอสเฟตตัวที่หนึ่ง

 $(V_{S1} : 100V/Div, I_{S1} : 10A/Div, Time : 10\mu s/Div)$


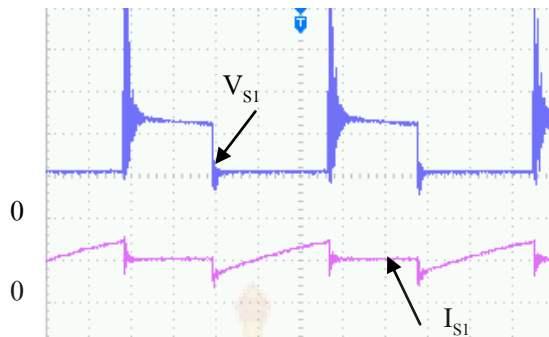
ข. เพาเวอร์มอสเฟตตัวที่สอง

 $(V_{S2} : 100V/Div, I_{S2} : 10A/Div, Time : 10\mu s/Div)$

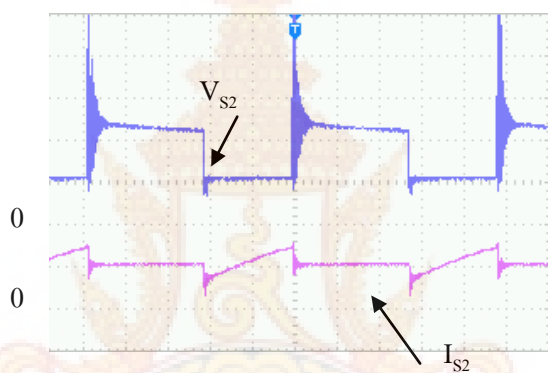
รูปที่ 4.12 แรงดันและกระแสขณะเพาเวอร์มอสเฟตทำงานที่คิวต์ไซเคิล 50 เปรอร์เซ็นต์

4.2.2 การทดสอบการทำงานจริงในโหมดทอนแรงดัน

การทดสอบการทำงานจริงในโหมดทอนแรงดันจะมีการแสดงแรงดันและกระแสขณะเพาเวอร์มอสเฟตทำงาน โดยจะทดสอบที่คิวต์ไซเคิลต่าง ๆ ดังรูปที่ 4.13 และ 4.14



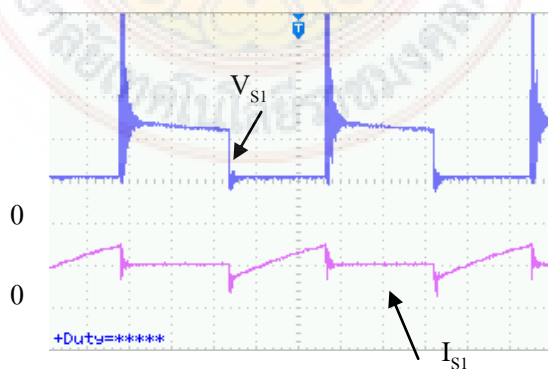
ก. เผาเวอร์มอสเฟตตัวที่หนึ่ง

 $(V_{S1} : 100V/Div, I_{S1} : 10A/Div, Time : 10\mu s/Div)$


ข. เผาเวอร์มอสเฟตตัวที่สอง

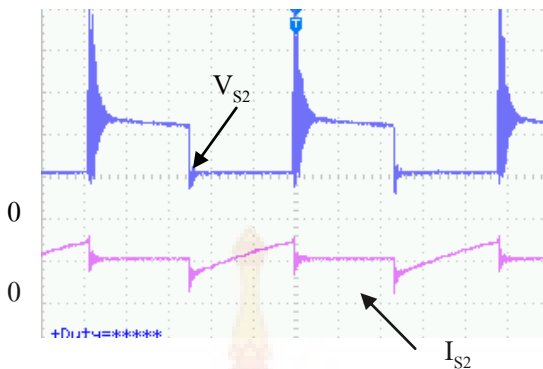
 $(V_{S2} : 100V/Div, I_{S2} : 10A/Div, Time : 10\mu s/Div)$

รูปที่ 4.13 แรงดันกระแสและกระแสเผาเวอร์มอสเฟตทำงานที่คิวตี้ไซเคิล 40 เปอร์เซ็นต์



ก. เผาเวอร์มอสเฟตตัวที่หนึ่ง

 $(V_{S1} : 100V/Div, I_{S1} : 10A/Div, Time : 10\mu s/Div)$



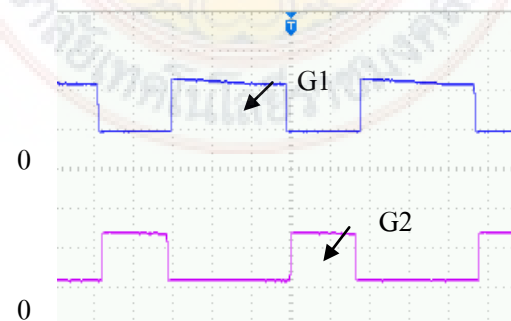
ข. เพาเวอร์มอสเฟตตัวที่สอง

($V_{S2} : 100V/Div$, $I_{S2} : 10A/Div$, Time : 10us/Div)

รูปที่ 4.14 แรงดันและกระแสขณะเพาเวอร์มอสเฟตทำงานที่คิวต์ไซเคิล 50 เปอร์เซ็นต์

จากรูปที่ 4.11 ถึง รูปที่ 4.14 เป็นการทดสอบการทำงานจริงของระบบในโหมดทบแรงดัน และ โหมดตอนแรงดัน โดยจะแสดงแรงดันและกระแสขณะเพาเวอร์มอสเฟตทำงาน การให้ของกระแสจะเริ่มน้ำกระแสที่ได้โดยในด้านลบ เมื่อถึงจุดที่สภาวะแรงดันเป็นศูนย์เพาเวอร์มอสเฟตก็จะเริ่มน้ำกระแสในด้านบวก ในการทดสอบการทำงานจริงที่รูปคลื่นแรงดันจะเกิดสัญญาณรบกวนที่เกิดมาจากการตัวเหนี่ยวนำและการสวิตชิ่ง แต่จะไม่ส่งผลกระทบต่อการทำงานของวงจรแต่อย่างใด

4.2.3 การทดสอบการทำงานจริงของสัญญาณขับเกตของเพาเวอร์มอสเฟต และ ช่วงเดดไทม์ แสดงดังรูปที่ 4.15



ก. สัญญาณขับเกตของเพาเวอร์มอสเฟตตัวที่หนึ่งและตัวที่สอง

($V_1 : 10V/Div$, $V_2 : 10V/Div$, Time : 10us/Div)



บ. ช่วงเดดไทม์

($V_1 : 10V/Div$, $V_2 : 10V/Div$, Time : 1us/Div)

รูปที่ 4.15 สัญญาณขับเกตของเพาเวอร์มอสเฟต และ ช่วงเดดไทม์

จากรูปที่ 4.15 แสดงการทดสอบการทำงานจริงของสัญญาณขับเกตของเพาเวอร์มอสเฟต และ ช่วงเดดไทม์ โดยช่วงเดดไทม์ที่ได้คือ 1 ไมโครวินาที

บทที่ 5

ในงานวิจัยนี้ วงศ์รัตชี ทุ ดีซี คอนเวอร์เตอร์แบบสองทิศทาง เทคนิคการเรโซแนนซ์แล็ตชี ทำให้ค่าความสูญเสียลดลง เพื่อเป็นแนวทางในการพัฒนาและประยุกต์ดีซี ทุ ดีซี คอนเวอร์เตอร์แบบสองทิศทางที่เหมาะสมสำหรับการใช้งานร่วมโซล่าเซลล์ และแบตเตอรี่ ชุดแหล่งจ่ายพลังงานแสงอาทิตย์สำหรับกล้องวงจรปิดสามารถจ่ายแรงดันไฟฟ้าที่ได้ทาง ดีซี บัส อยู่ในระดับที่เหมาะสมกับการใช้งานของกล้องวงจรปิดหรือสามารถประยุกต์ใช้กับงานอื่นๆ ได้ตามความต้องการในการใช้งาน ชุดแหล่งจ่ายพลังงานแสงอาทิตย์สำหรับกล้องวงจรปิดนี้ถูกออกแบบให้สามารถจ่ายแรงดันที่ดีซีบัสได้ 240 โวลต์ ตลอดเวลา โดยใช้หลักการของการควบคุมด้วยคิวตี้ไซเคิล

5.1 สรุปผล

งานวิจัยนี้ได้เริ่มจากการศึกษา ค้นคว้าทฤษฎีและข้อมูลที่เกี่ยวข้อง เพื่อเป็นแนวทางในการออกแบบสร้างชุดแหล่งจ่ายพลังงานแสงอาทิตย์สำหรับกล้องวงจรปิด เป็นการนำเอาองจรทบแรงดัน-ทอนแรงดัน กอนเวอร์เตอร์แบบเรโซแนนซ์แลดซึม่าใช้งาน เพื่อลดความสูญเสียในการทำงานของสวิตช์และใช้หลักการของการควบคุมดิจิตตี้ไซเคิลเพื่อที่จะสามารถรักษาระดับแรงดันที่ดีซึ บัสให้ได้ 150 โวลต์ตลอดเวลา โดยงานวิจัยนี้จำลองการทำงานด้วยโปรแกรม PSIM ผลการจำลองการทำงานพบว่าระบบทำงานได้ดีและเป็นไปตามขอบเขตที่กำหนดไว้ ดังนั้นจึงได้ออกแบบและสร้างชุดแหล่งจ่ายพลังงานแสงอาทิตย์แบบสองทิศทาง ได้สำเร็จตามความต้องการ

5.2 ปัญหาและข้อเสนอแนะ

สำหรับปัญหาของชุดเหล่านี้จ่ายพลังงานแสงอาทิตย์ที่มีกึ่งคือ การรักษาระดับแรงดันที่ดีซึ่งบลส 150 โวลต์ ยังคงไม่เสถียร แรงดันอาจจะมากกว่าหรือน้อยกว่าบ้างในบางครั้ง ภายในวงจรยังมีค่าความสูญเสียอยู่บ้างเล็กน้อยและเหล่านี้จ่ายแรงดันสำหรับชุดสร้างสัญญาณขึ้นเกตต้องใช้จำนวนมาก มีข้อเสนอแนะกึ่งคือ

- 1) สามารถลดขนาดของชิ้นงานได้มากกว่านี้ โดยใช้อุปกรณ์ที่มีขนาดเล็กลง แต่จะมีการลงทุนที่สูงขึ้น
 - 2) สามารถปรับเปลี่ยนชุดสร้างสัญญาณขั้บเกรตและชุดควบคุมการตัดต่อวงจรจากแบบอนาล็อก เป็นแบบดิจิตอล เพื่อเพิ่มความสามารถให้กับวงจรมากขึ้น

เอกสารอ้างอิง

- [1] ปีพงษ์ ชงชัยขาวสະอาด, และ พาสุข เรืองรัมย์. 2554. “วงจรบูตต์ดีซีทูดีซีคอนเวอร์เตอร์ แบบขนาด 4 โอมดูล” ปริญญาภานิพนธ์ วิศวกรรมศาสตรบัณฑิต คณะวิศวกรรมศาสตร์สาขาวิศวกรรมไฟฟ้า มหาวิทยาลัยเทคโนโลยีราชมงคลกรุงเทพ.
- [2] Jun-Gu Kim, Seung-Won Park, Young-Ho Kim, Yong-Chae Jung, and Chung-Yuen Won. 2010. “**Bidirectional Soft Switching DC-DC Converter.**” School of Information and Communication Engineering, and Department of Electronic Engineering, Namseoul University. South-Korea, International Power Electronics Conference (2010).
- [3] วีระเชย์ ขันเงิน, และ วุฒิพล สาระนิรเดษฐ์. 2547. อิเล็กทรอนิกส์กำลัง **Power Electronics.** ภาควิชาวิศวกรรมไฟฟ้า คณะวิศวกรรมศาสตร์ สถาบันเทคโนโลยีพระจอมเกล้าเจ้าคุณทหารลาดกระบัง.
- [4] วิโรจน์ เพชรพันธ์ศรี. 2546. อิเล็กทรอนิกส์กำลัง1. สาขาวิศวกรรมไฟฟ้า คณะวิศวกรรมศาสตร์ มหาวิทยาลัยเทคโนโลยีราชมงคลกรุงเทพ.
- [5] N.Mohan, R.Ayyanar, E.Persson. 2002. **APEC.** [Online] Available : http://aboutme.samexent.com/classes/spring09/ee5741/SoftSwitching_LectureNotes.pdf, (2002). (21 March 2013)
- [6] กฤษ เนยไสย. 2549. **Power Electronics.** [ออนไลน์] เข้าถึงได้จาก : http://eestaff.kku.ac.th/~krit/book_project4/Books/Power%20electronics/Power%20electronics.pdf. (21 March 2013)
- [7] Chudjuarjeen S, and Koompai C. 2008. **Asymmetrical control with Phase Lock Loop for Induction Cooking Appliances.** ECTI-CONFERENCE 2008 pp. 1013-1016.
- [8] Saichol Chudjuarjeen, and Vichien Hathairatsiri. 2009, **Class D current-source inverter for induction cooking appliances.** STISWB 2009 pp. 375-378. Mahasarakham University
- [9] งานไฟฟ้าและอิเล็กทรอนิกส์เบื้องต้น [ออนไลน์] เข้าถึงได้จาก : <http://kpp.ac.th/elearning/elearning3/book-09.html>. (21 March 2013)
- [10] **Data Sheet 7805, 7806.** [Online] Available :

<http://synthdiy.com/show/?id=1757>. (1 March 2013)

- [11] **Data Sheet HRS4H-S-DC5V, HRS4H-S-DC6V.** [Online] Available :
[http://jinbaiyi.com/web_pdf/web.../hrs4\(h\).pdf](http://jinbaiyi.com/web_pdf/web.../hrs4(h).pdf) . (1 March 2013)

